# Sismologie et Traitement du signal

Sophie Peyrat, Bat 22, 4ème étage sophie.peyrat@umontpellier.fr

Heures en présentiel:

24 CM, 16,5 TD et 9 TP

**Evaluation:** 

1 QCM, 1 CC, TP + projet



Enregistrement Potsdam Tokyo (1889)

# Sismologie et Traitement du signal



132 – Zhang Heng

1755- Lisbonne M=8.5 à 9



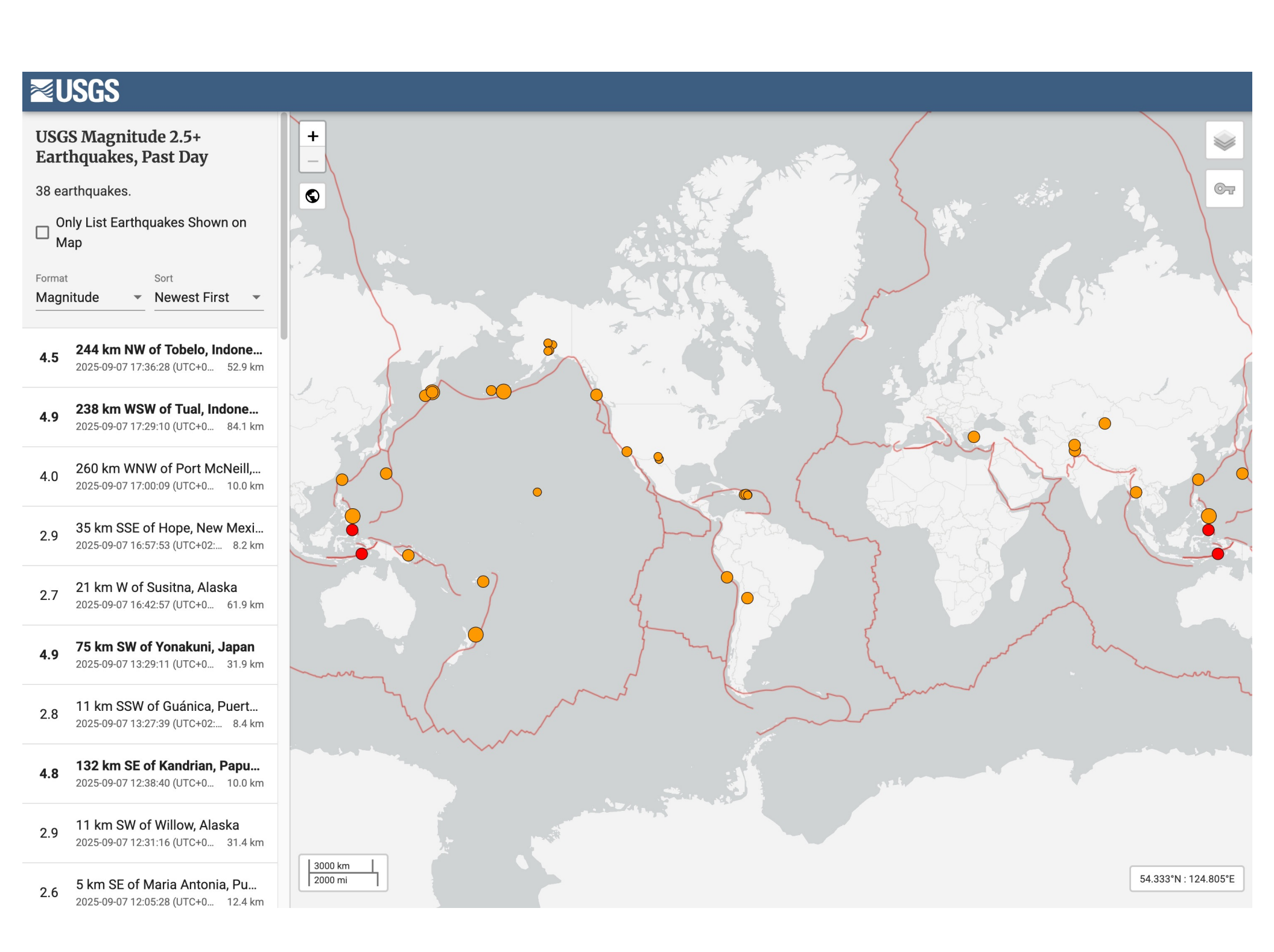
Fig. 18. Petedam, 1889 April 17, 25 A ... 229, A (Erdbeben in Japan.)

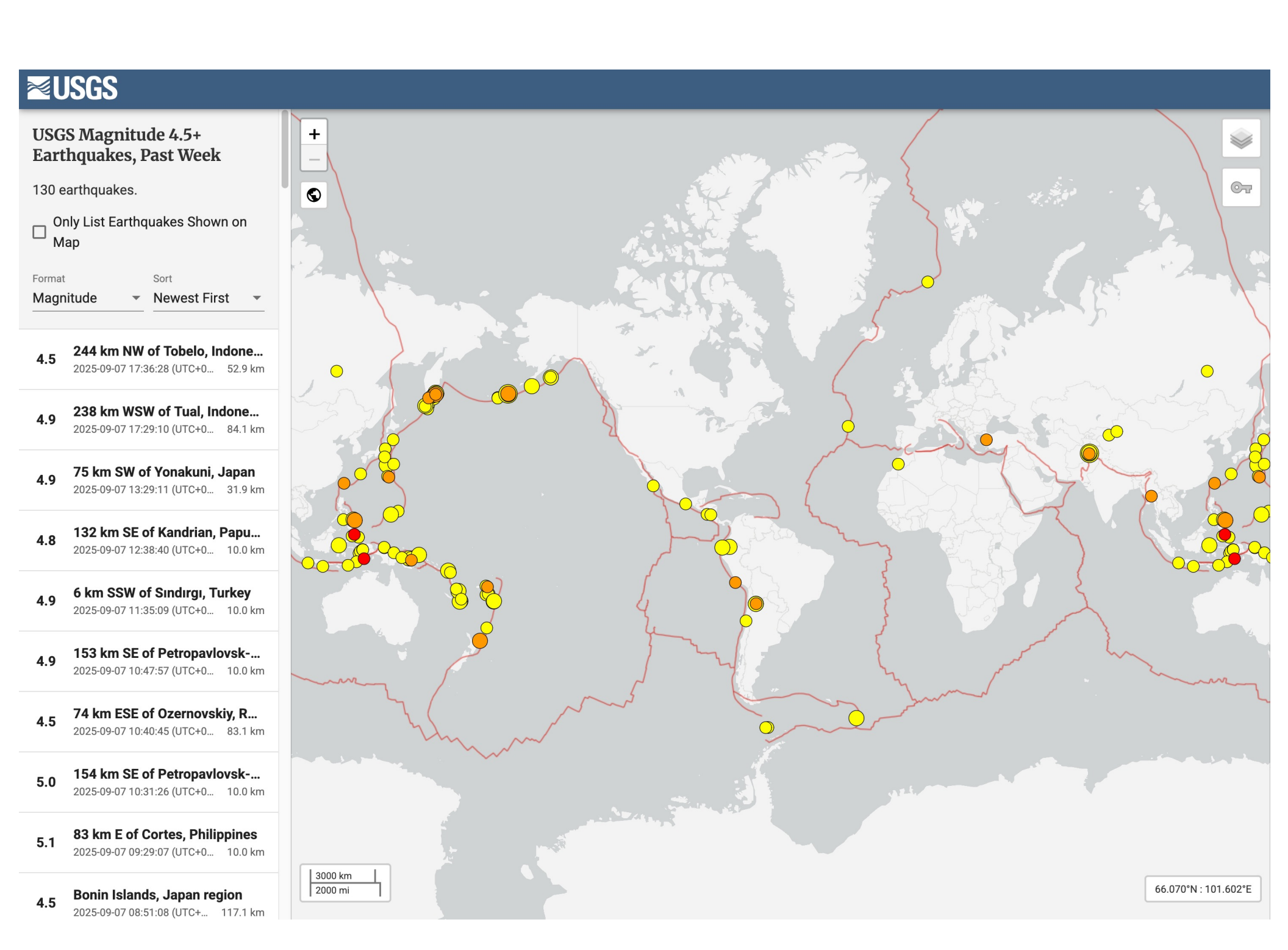
Enregistrement Potsdam Tokyo (1889)

# Sismologie et Traitement du signal

- Introduction
- Les séismes: comment sont-ils générés?
  - Contraintes, déformation, élasticité et rupture
- Les séismes: comment les étudier?
  - Les ondes sismiques
  - Mesures d'un séisme et analyse d'un sismogramme:
    - Localisation, magnitude, intensité,...
  - Méga séismes, et étude de la source sismique
- Imagerie de la Terre
  - Structure interne et tomographie sismologique
  - Sismique réflexion et sismique réfraction
- Aléa sismique et prévention
- Phénomènes induits (Tsunami...)

# INTRODUCTION





### M 6.0 - 37 km WSW of Asadābād, Afghanistan

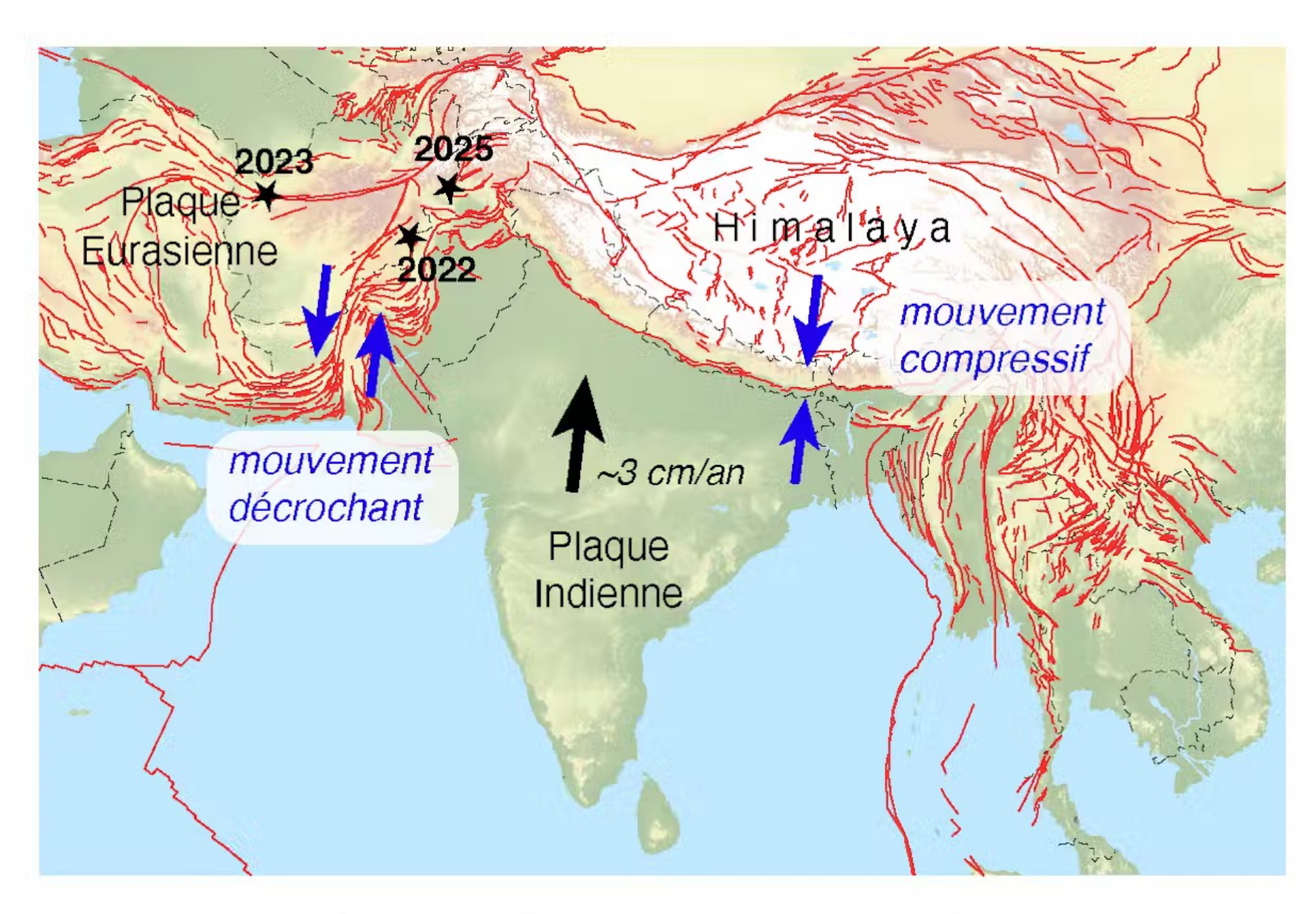
2025-08-31 19:17:34 (UTC) 34.706°N 70.793°E 8.0 km depth

# En Afghanistan, le séisme de magnitude 6 a fait plus de 2 200 morts, d'après un nouveau bilan

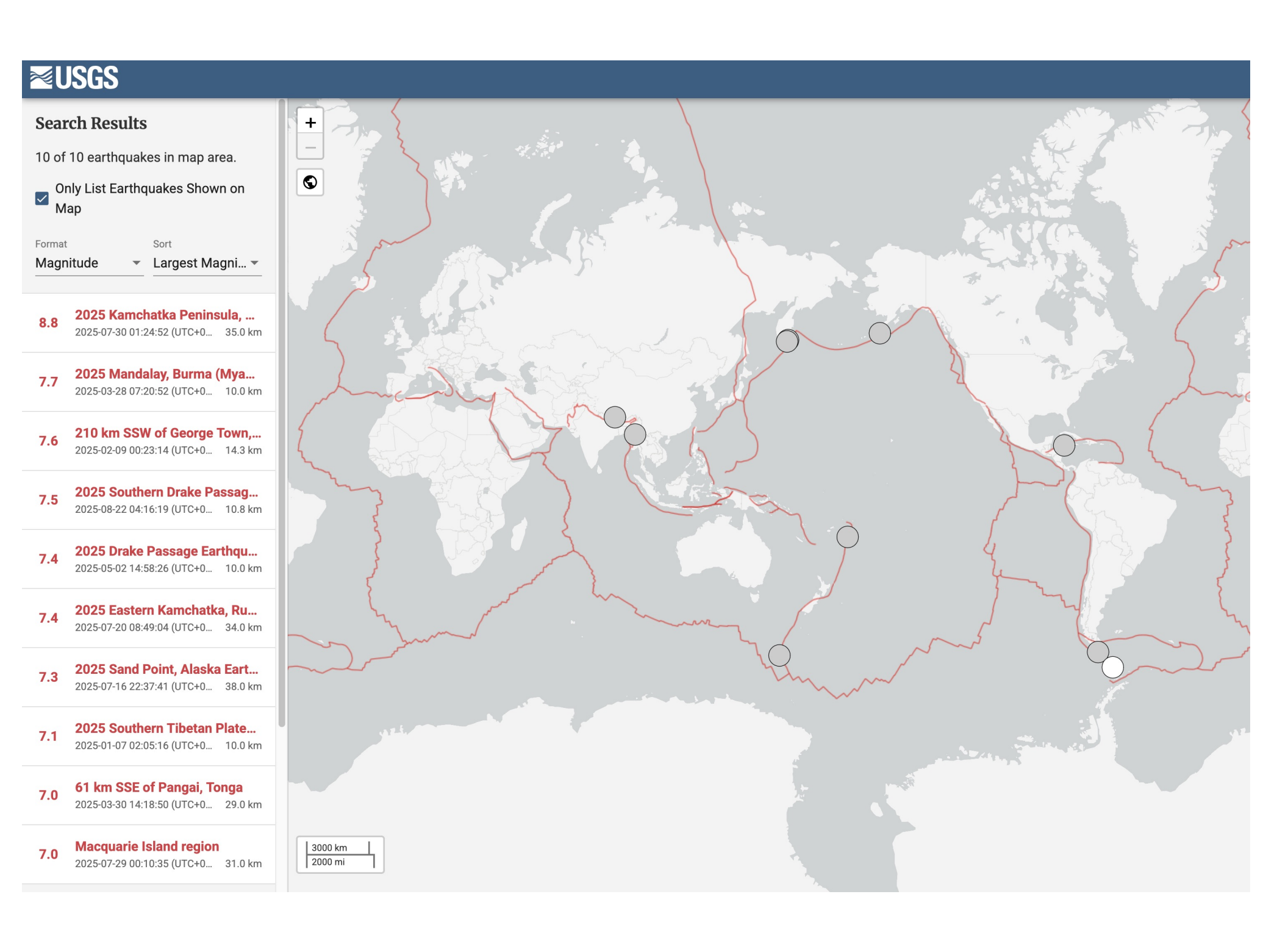
Le tremblement de terre, suivi de plusieurs fortes répliques, a dévasté plusieurs provinces afghanes montagneuses.



Une habitation dévastée par un tremblement de terre de magnitude 6 dans la province de Kounar (Afghanistan), le 1er septembre 2025. (JAVID ASHNA / MIDDLE EAST IMAGES / AFP)

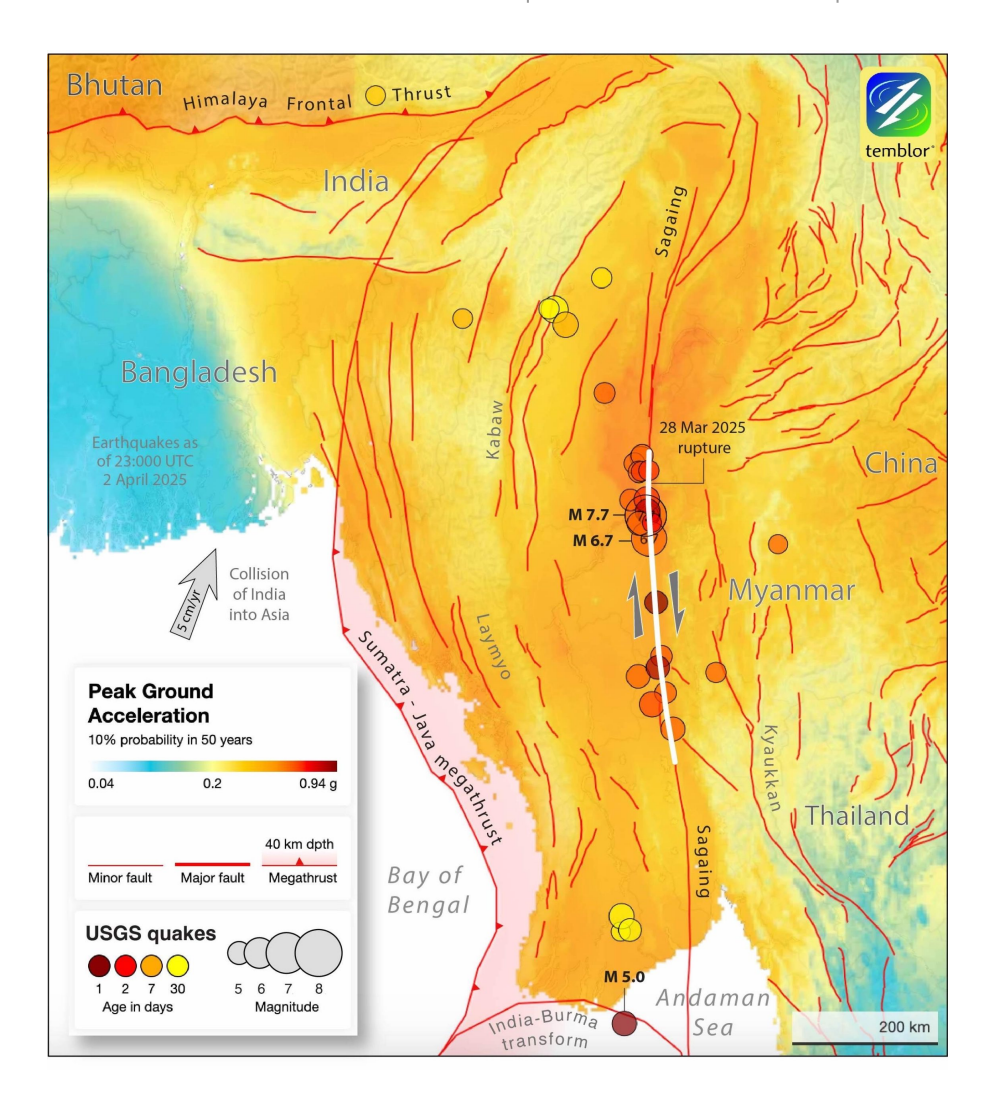


Contexte tectonique et géographie du séisme du 31 août 2025 par rapport à ceux du 22 juin 2022 et du 7 octobre 2023, localisés par des étoiles. Les failles sont en rouge et les frontières nationales en pointillé. Manon Dalaison, Fourni par l'auteur



### M 7.7 - 2025 Mandalay, Burma (Myanmar) Earthquake

2025-03-28 06:20:52 (UTC) 22.011°N 95.936°E 10.0 km depth

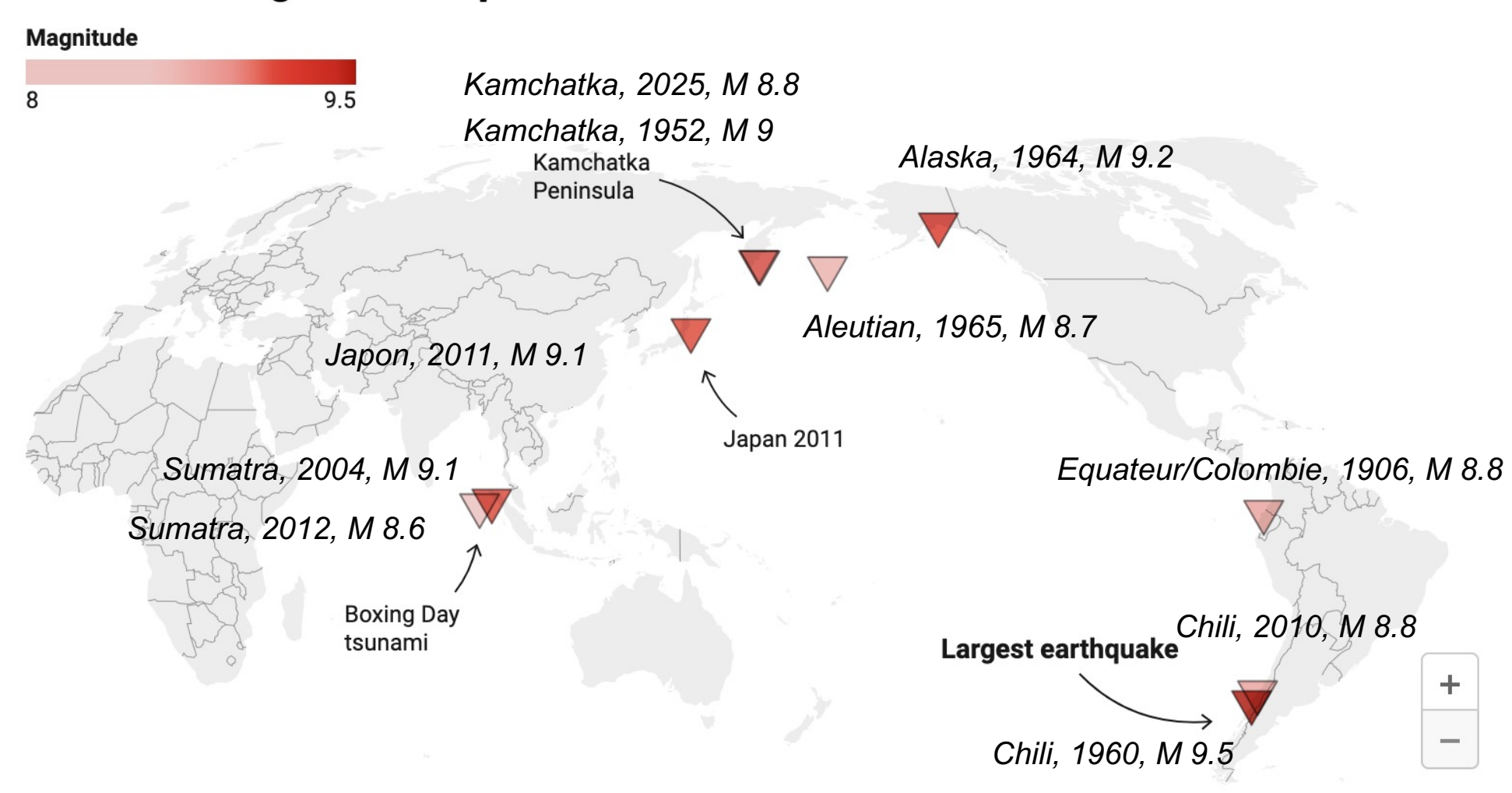


La rupture d'une faille en directe: Cette vidéo d'une incroyable valeur scientifique



https://www.youtube.com/watch?v=\_OeLRK0rkCE

### The 10 strongest earthquakes worldwide since 1900



Map: The Conversation • Source: USGS • Get the data • Embed • Download image • Created with Datawrapper

### M 8.8 - 2025 Kamchatka Peninsula, Russia Earthquake

2025-07-29 23:24:52 (UTC) 52.498°N 160.264°E 35.0 km depth



https://www.youtube.com/watch?v=ZH0CKMKrQ4Q

# Coupure de presse

Une forte secousse sismique d'une **magnitude** de 5,2 a été ressentie jeudi soir en Corse ainsi que sur le continent, à Marseille, dans le Var et les Alpes-Maritimes, mais sans faire de dégâts ni de blessés.

Selon le bureau central sismologique de Strasbourg, l'épicentre du séisme était situé en mer, à 100 km à l'ouest d'Ajaccio, et s'est produit à 21h21, tandis que le centre sismologique euro-méditerranéen l'a situé précisément à 20 km de **profondeur**, en Méditerranée.

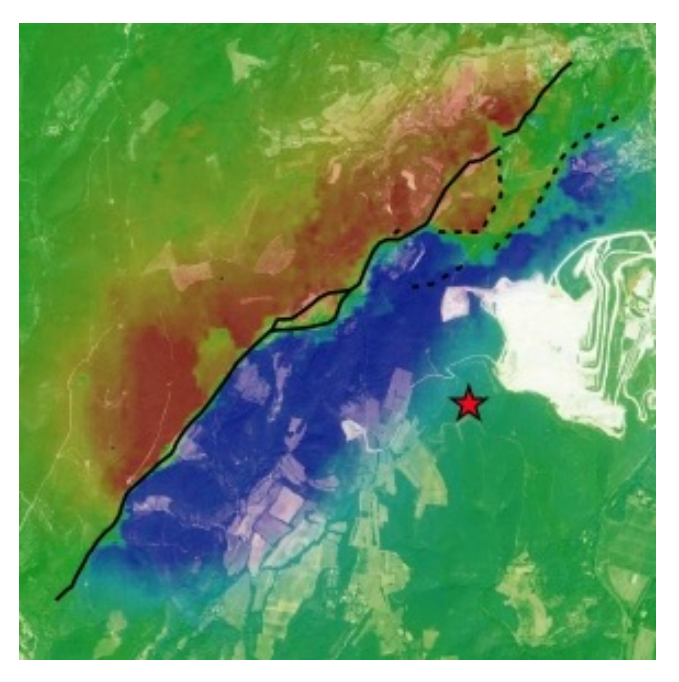


Epicentre du séisme du 7/07/2011 (GéoAzur)

« Le séisme du Teil a été une surprise à double titre. Tout d'abord, le foyer étant très superficiel, autour de 1 km de profondeur, la rupture a atteint la surface, bien que la magnitude (M5) du séisme fût modérée. ... La faible profondeur du foyer explique également qu'il y ait eu autant de dégâts avec notamment plus de 900 maisons endommagées qui ne sont plus habitables. L'énergie n'a pas eu l'espace et le temps de se dissiper au sein de la roche, comme il aurait été le cas si le foyer du séisme était autour de 5-10 km de profondeur. »



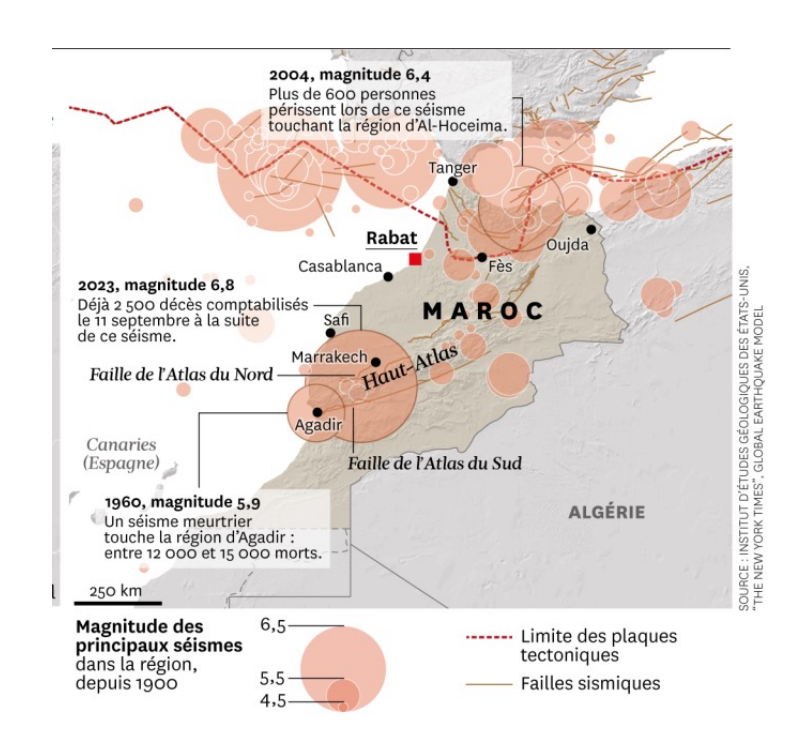


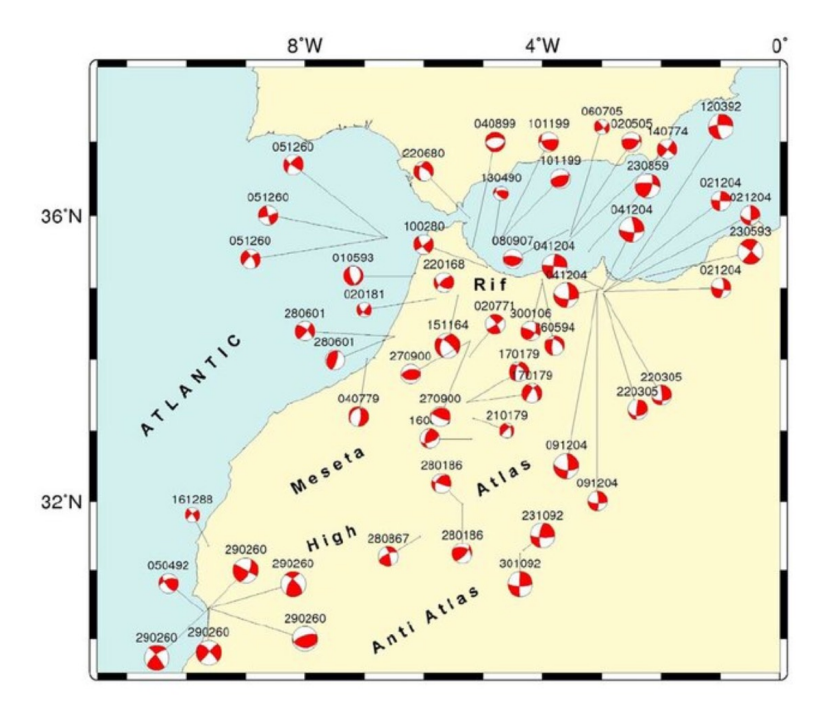


2029, M Mw 4.9 Source: Ritz et al. - Technique de l'ingénieur + site web INSU

« Le séisme de 2023 au Maroc, survenu le 8 septembre 2023 à 22 h 11 min 2,2 s UTC, 23h11 heure locale, et de <u>magnitude Mw= 6,8 à 7,2</u> selon les instituts sismologiques... L'<u>épicentre</u> du séisme se trouve dans le Haut Atlas à 71,8 km au sudouest de Marrakech. L'<u>hypocentre</u> est calculé à une profondeur de 12 à 24 km. Le séisme est suivi 20 minutes plus tard d'une importante réplique de magnitude 4,9.

L'USGS indique un <u>mécanisme au foyer</u> de chevauchement oblique. Les <u>deux plans nodaux</u> seraient donc une <u>faille inverse</u> à composante dextre, orientée SE-NW, et de pendage 37° SW, et une faille inverse, orientée WSW-ENE, avec une composante senestre, sur un plan à pendage de 69° NNW. On estime également que la zone de rupture de la faille mesure environ 30 km par 20 km.

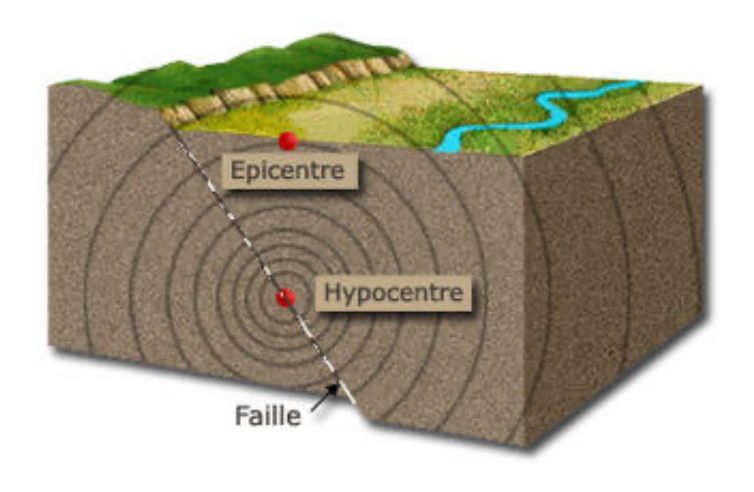


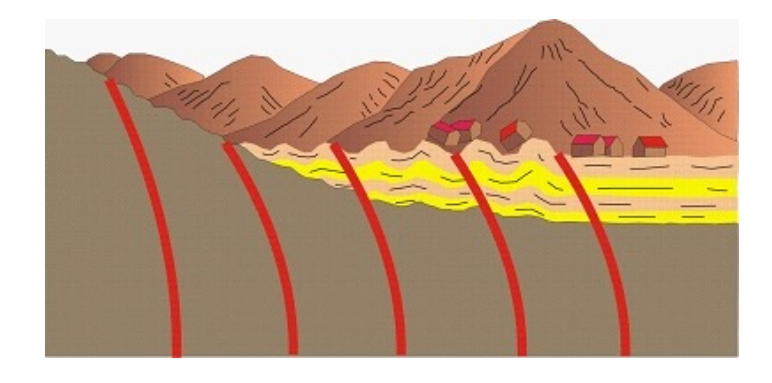


.

Un séisme est une libération soudaine d'énergie à l'intérieur de la terre qui provient de la fracturation des roches en profondeur en lieu appelé foyer, source ou hypocentre.

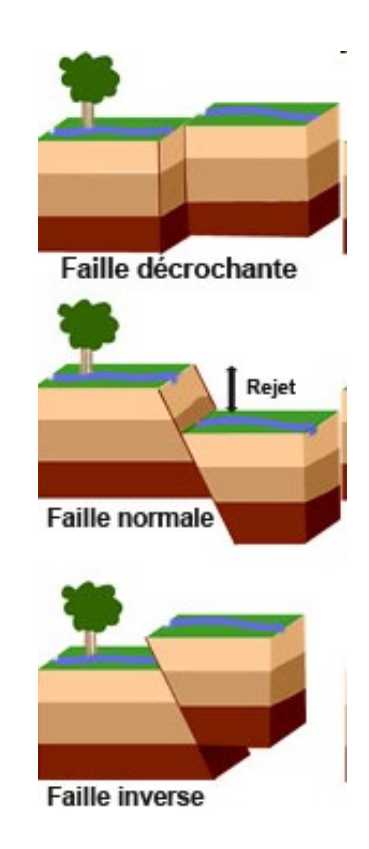
Un séisme peut occasionner des dégâts considérables à cause des ondes élastiques qui se propagent depuis le foyer jusqu'à n'importe quel point de la surface, provoquant un ébranlement du sol.





# Origine d'un séisme

NATURELLE: formation ou rejet de faille, volcanisme, effondrement grotte



Trémor volcanique du Eyjafjöll
Station Eystri-Skogar - Earth sciences Institute - Nordic Volcanoligal center

8000
7000
6000
1-2 ltc 2 esk
2-4 ltc 2 esk
2-4 ltc 2 esk
2-4 ltc 2 esk
1-2 ltc 2 esk
1-3 ltc 2 esk
1-4 ltc 2 esk
1-4 ltc 2 esk
1-5 ltc 2 esk
1-6 ltc 2 esk
1-7 ltc 2 esk
1-7 ltc 2 esk
1-8 ltc 2 esk
1-9 ltc 2 esk
1-9

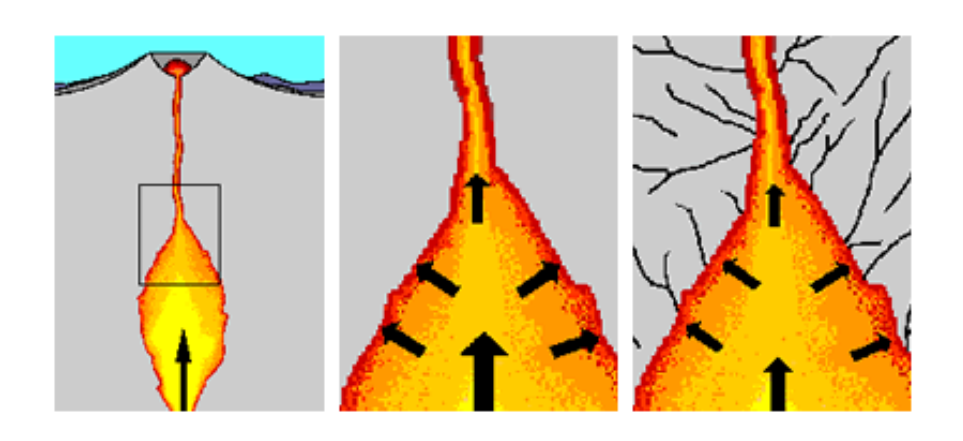
Séismes volcaniques (remontée du magma visqueux)

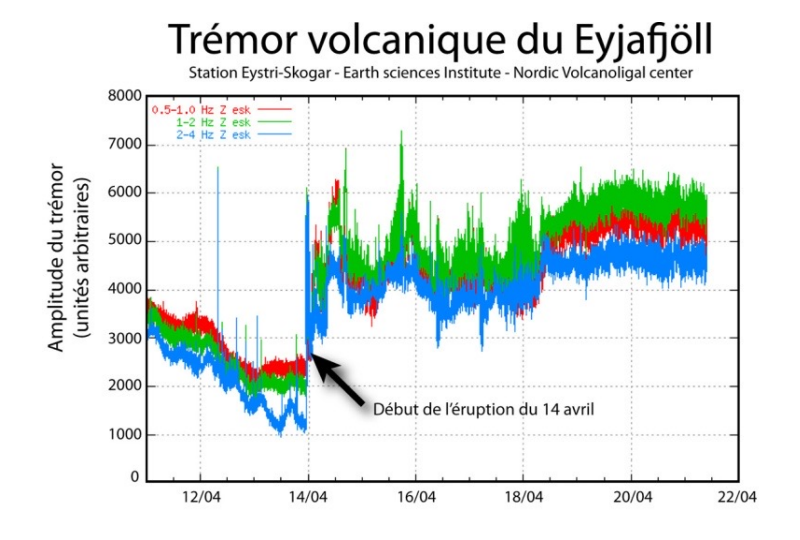
Séismes tectoniques

## Origine d'un séisme

NATURELLE: accumulation de magma dans chambre volcanique

→ intrusion et dégazage de magma, formation de conduits,...





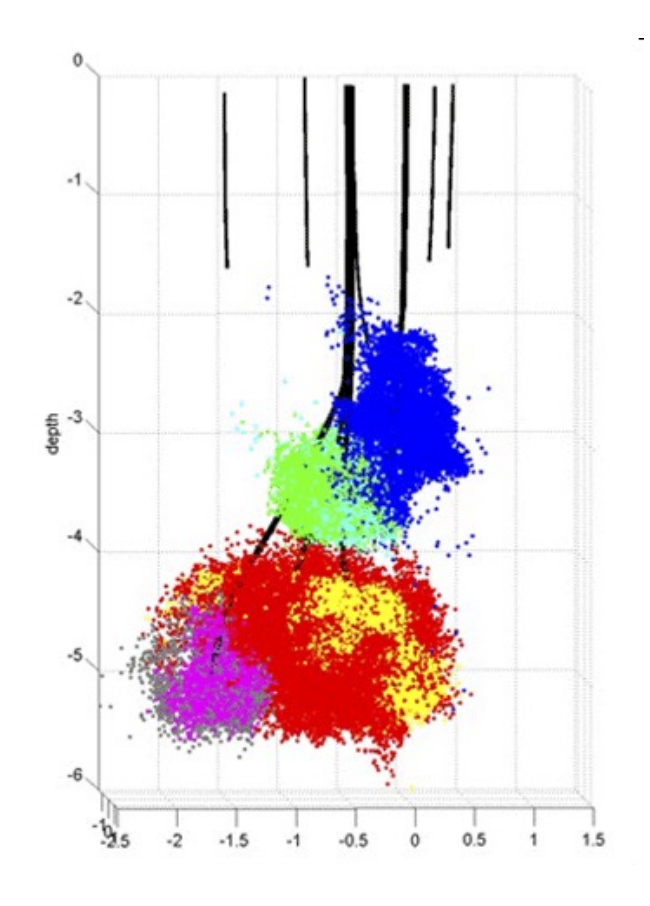
→ Suivi de l'activité des volcans

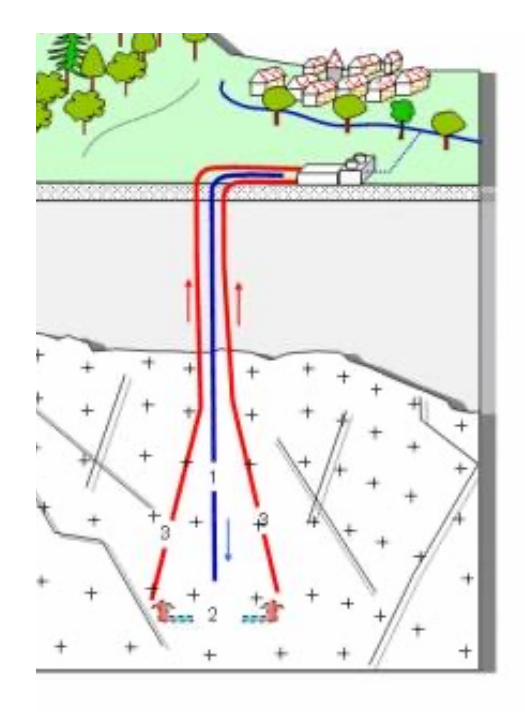
Trémor: vibration du sol reliée aux mouvements de magma.

# Origine d'un séisme

ARTIFICIELLE/ ANTHROPIQUE: essais nucléaires, barrages-réservoirs, exploitation

réservoirs,...





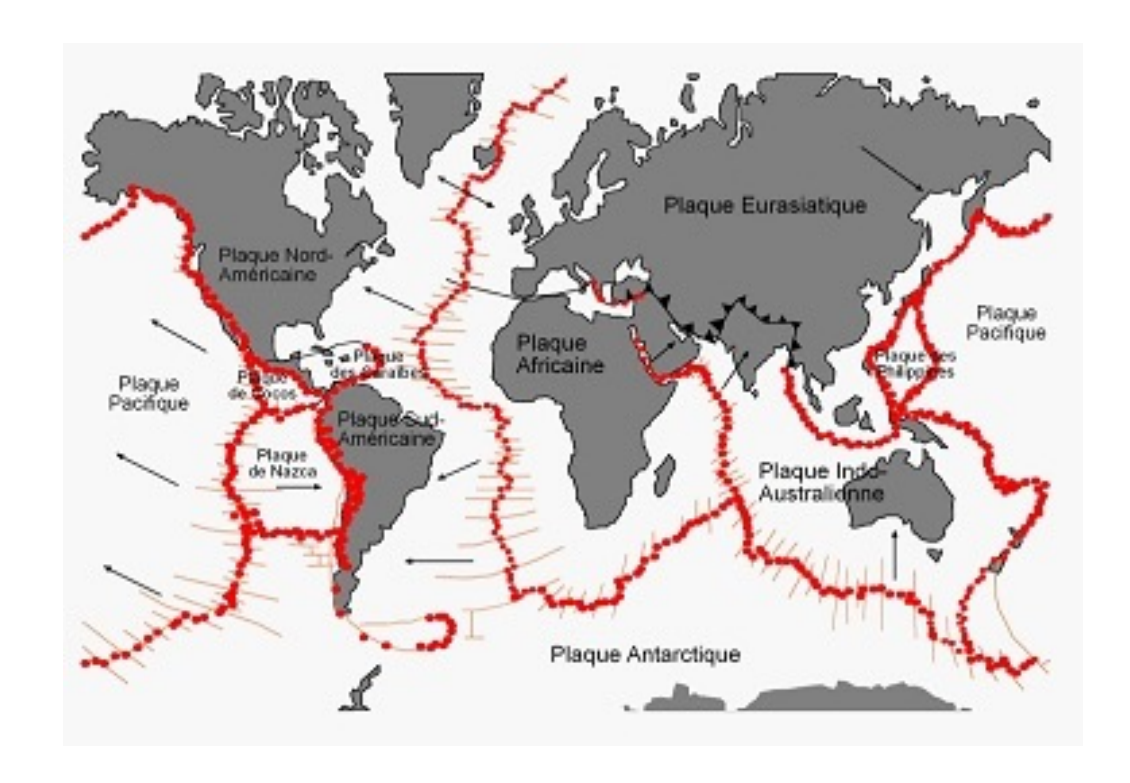
Migration ses séismes avant et après des stimulations hydrauliques effectuées à Soultzsous-Forêts.

# Origine d'un séisme tectonique

Le séisme → rupture de la roche, avec formation ou réactivation d'une faille = propagation d'une rupture le long d'une faille

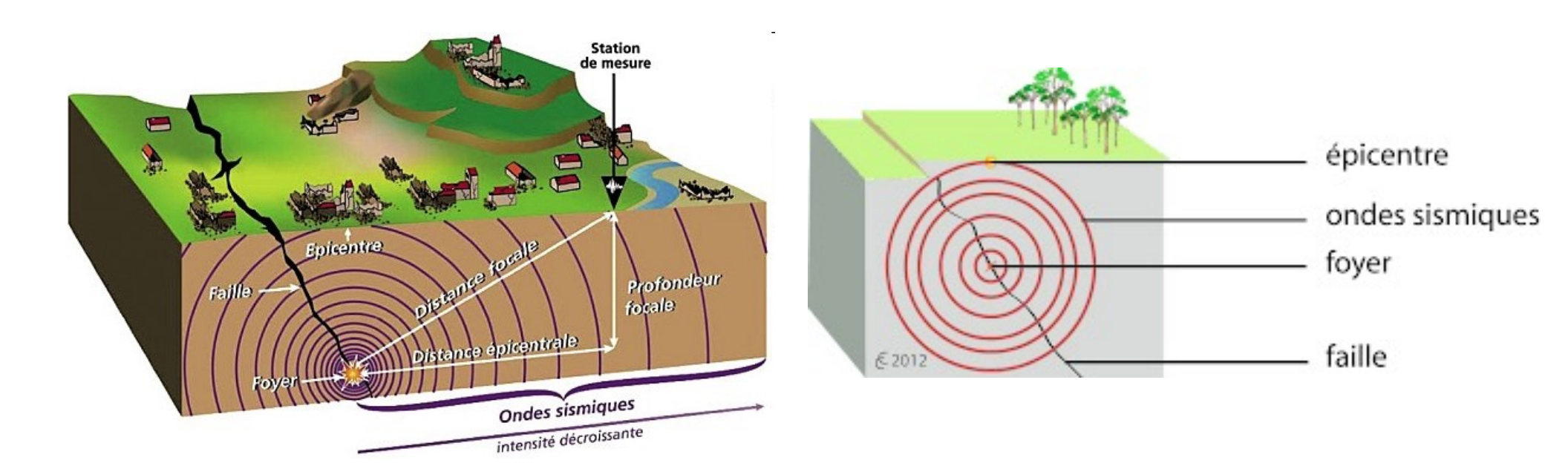
La rupture → relâchement de l'énergie accumulée sous l'effet des contraintes tectoniques extérieures.

# Origine d'un séisme tectonique

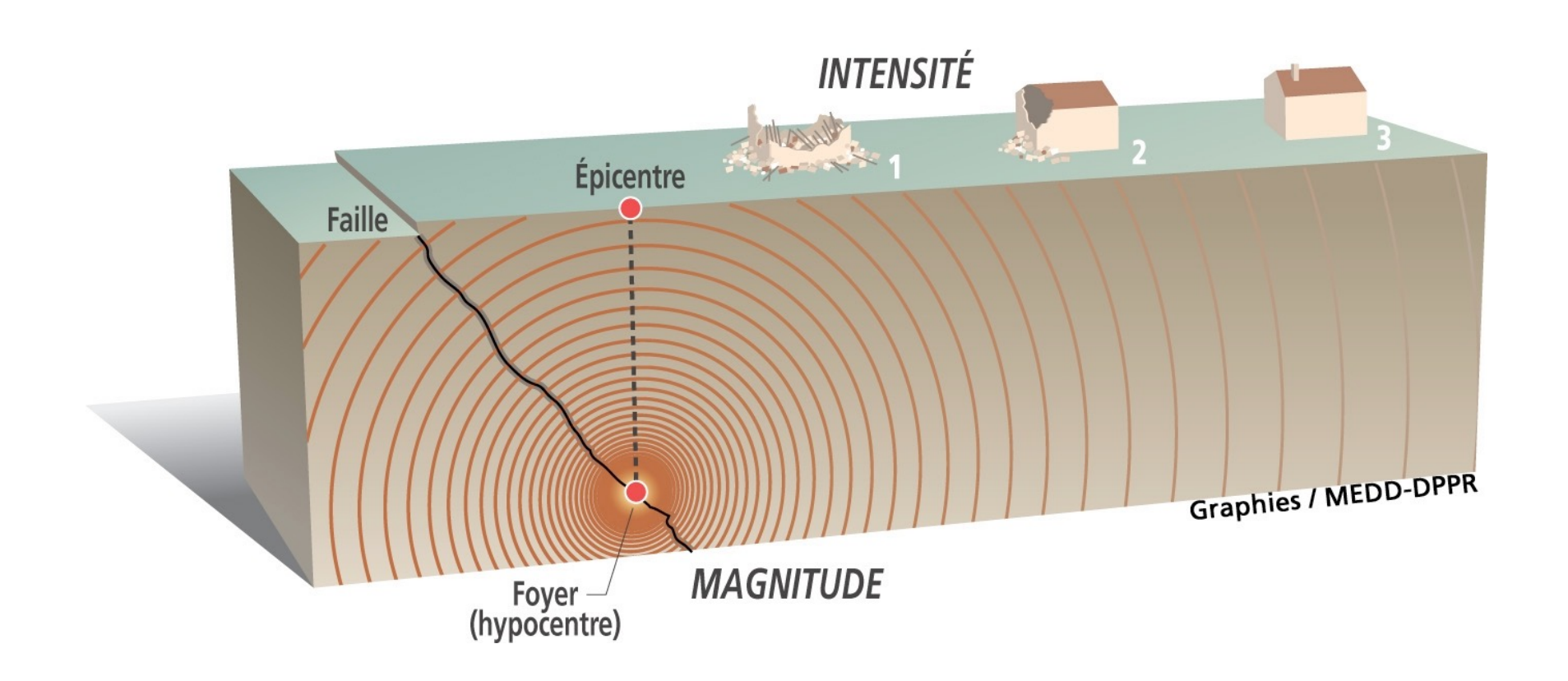


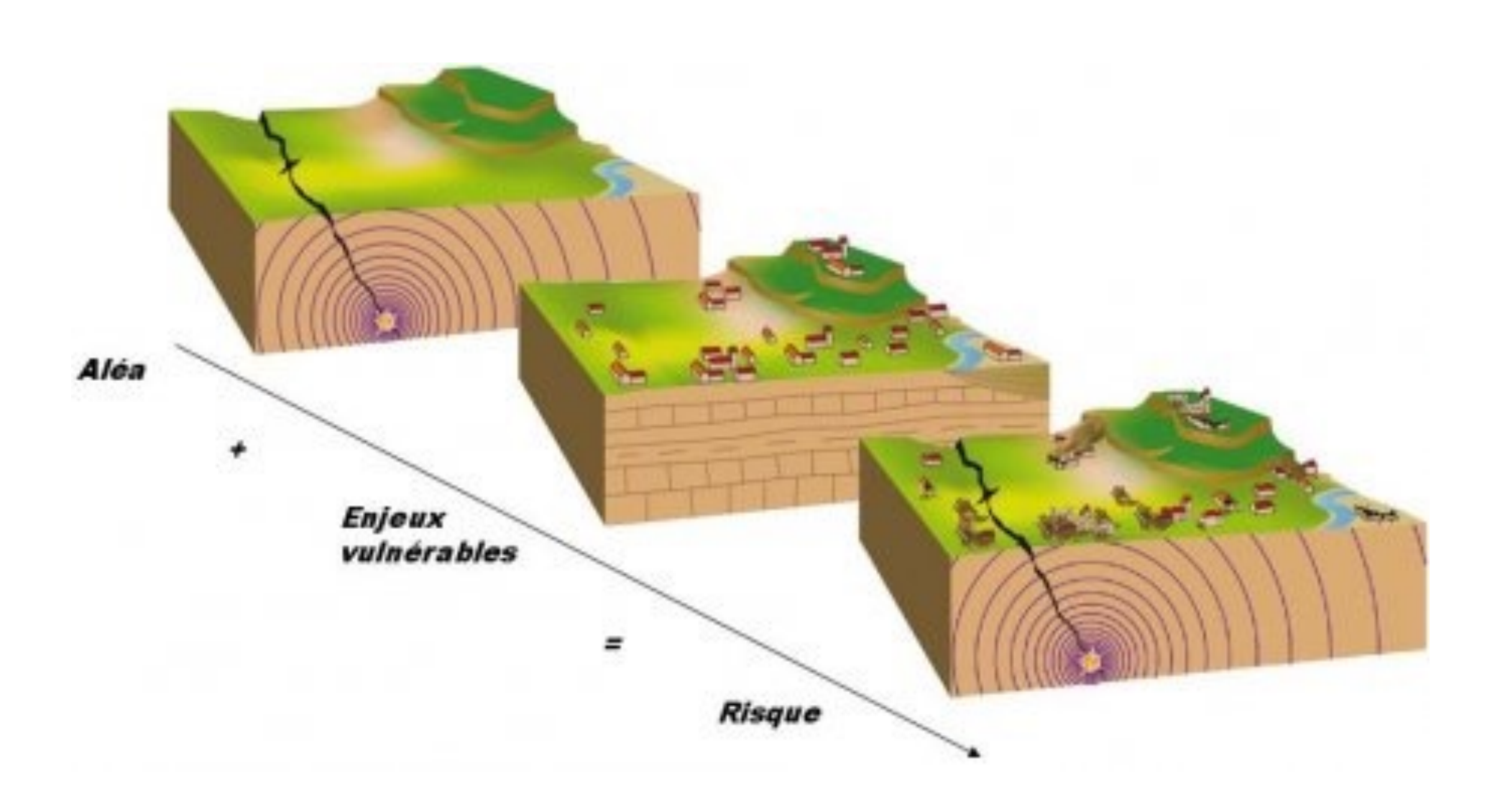
Le mouvement des plaques provoque des tensions, faisant que celles-ci s'accumulent jusqu'à un point où la résistance de la croûte ne peut plus supporter la tension et elle se casse. Au moment où a lieu cette rupture, l'énergie qui s'était accumulée se libère soudainement sous forme d'ondes qui se propagent dans toutes les directions en produisant une secousse du terrain. (BRGM)

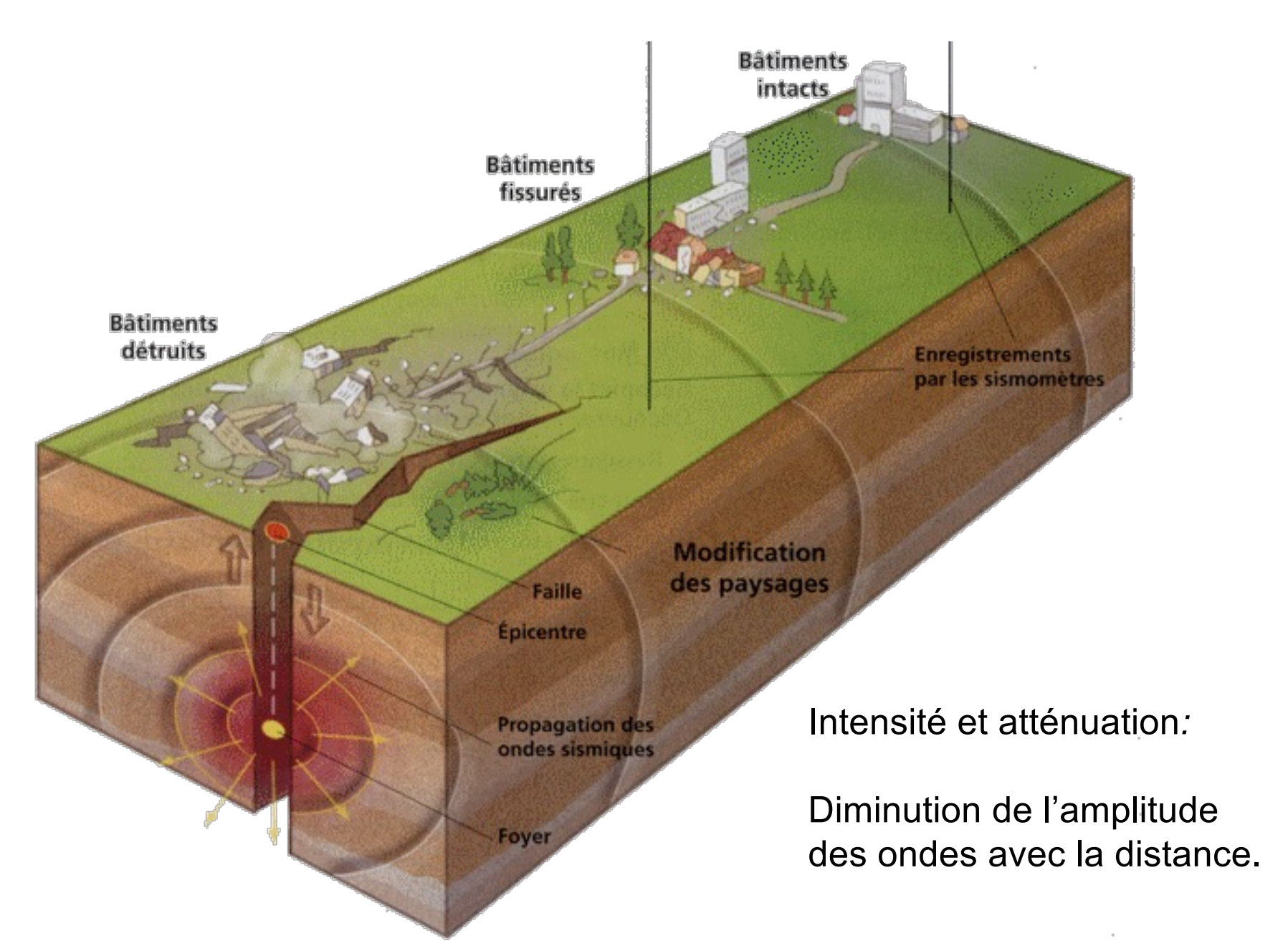
- Le foyer, source ou hypocentre est l'endroit où se produit la rupture.
- L'épicentre est la projection du foyer à la surface de la Terre.



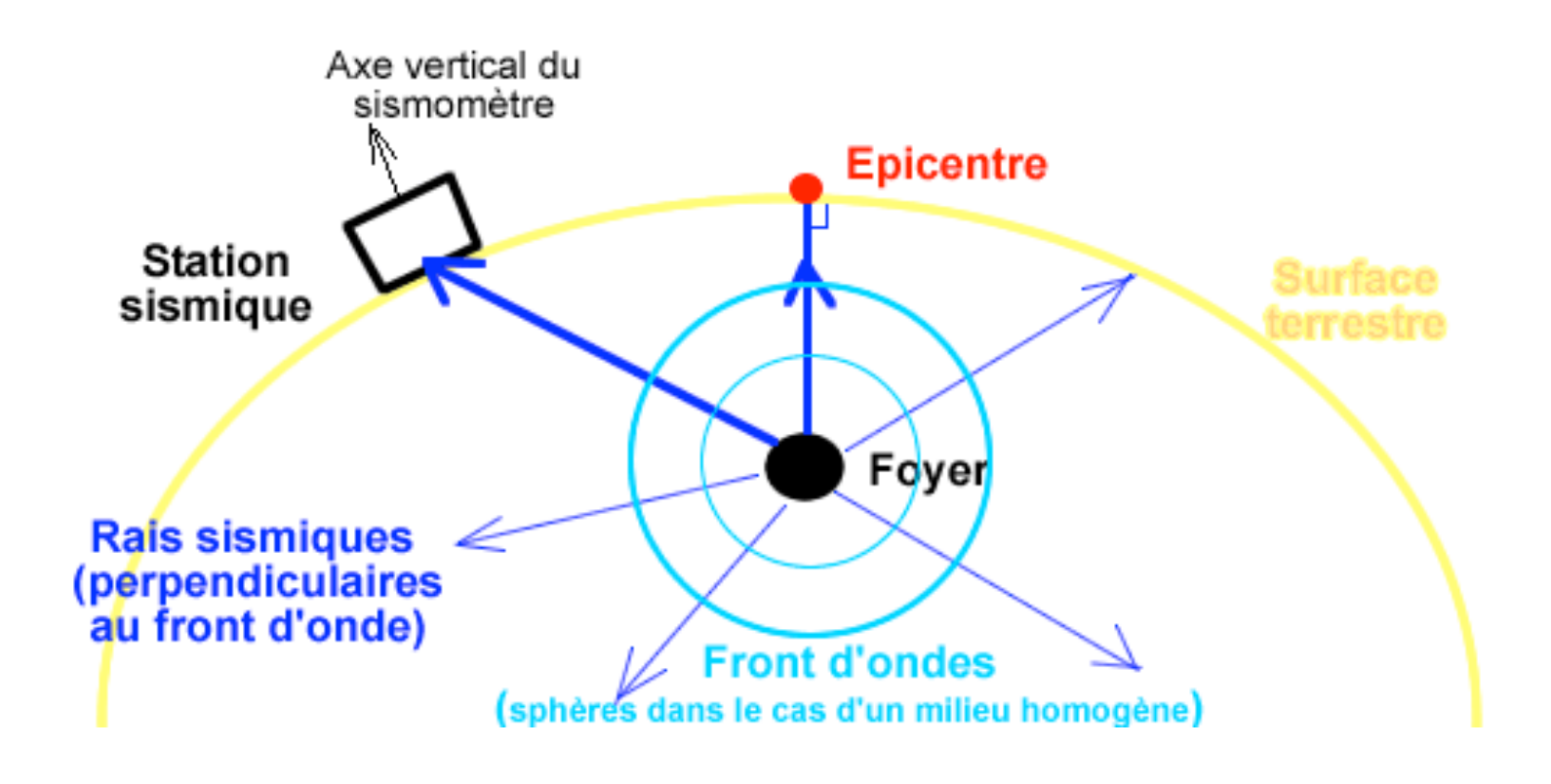
- La magnitude : énergie libérée par le séisme → calcul (« Echelle Richter »)
- L'intensité : ressenti (secousses, dégâts) → témoignage (« Echelle Mercalli »)



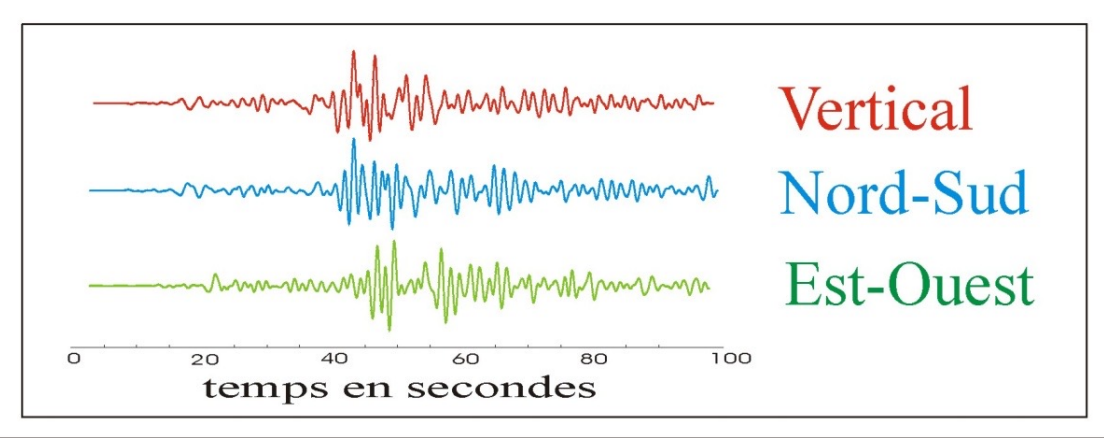


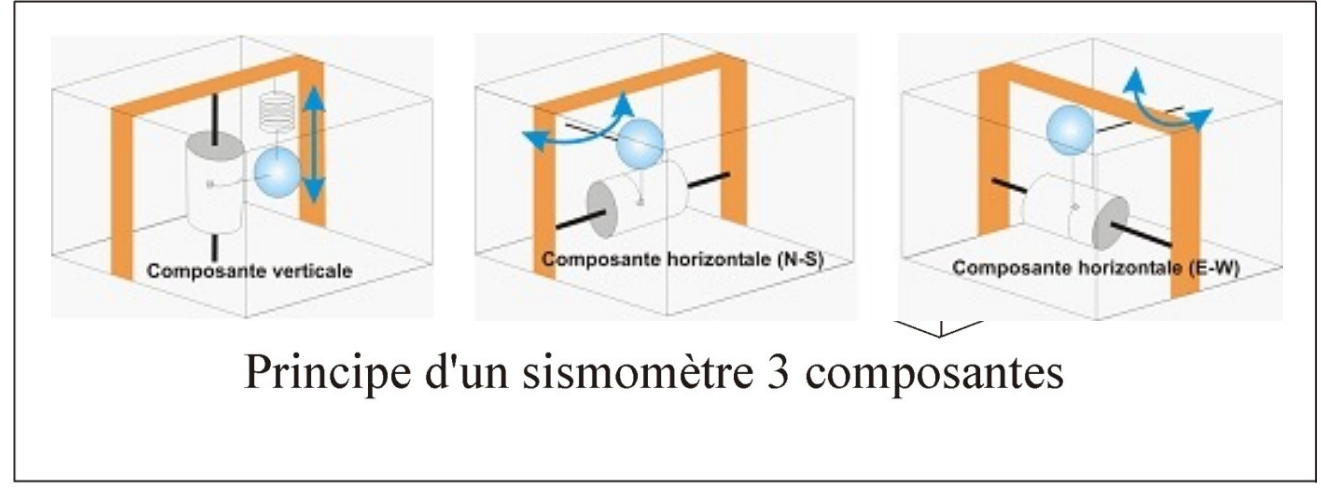


# Enregistrement des séismes

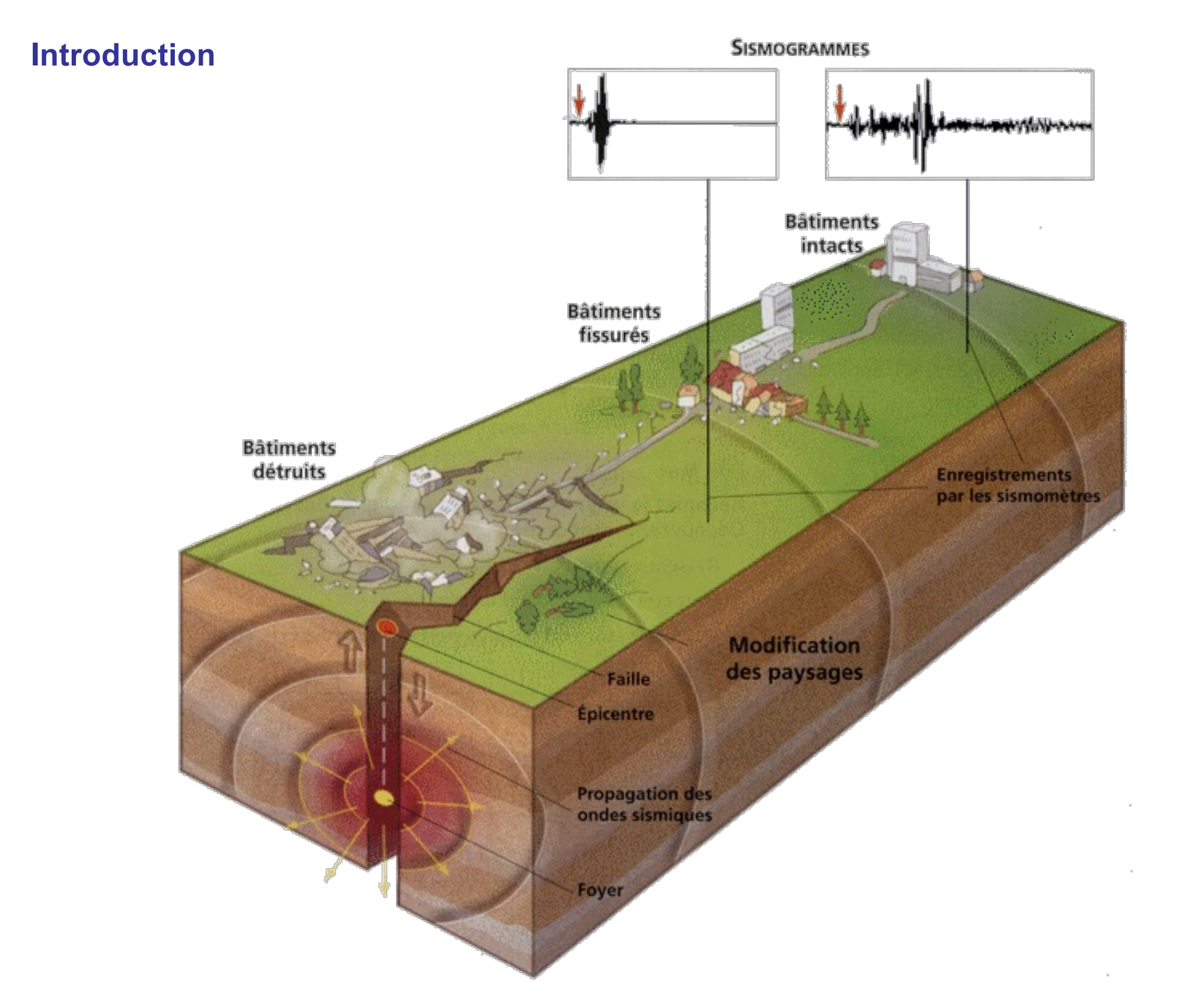


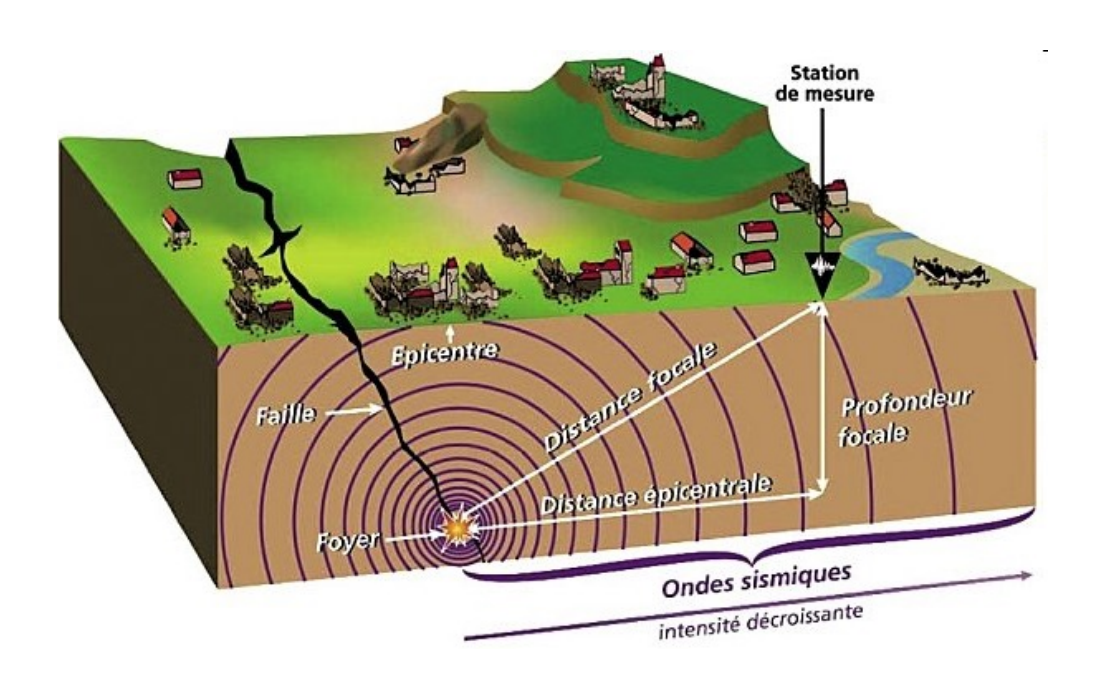
# Enregistrement des séismes



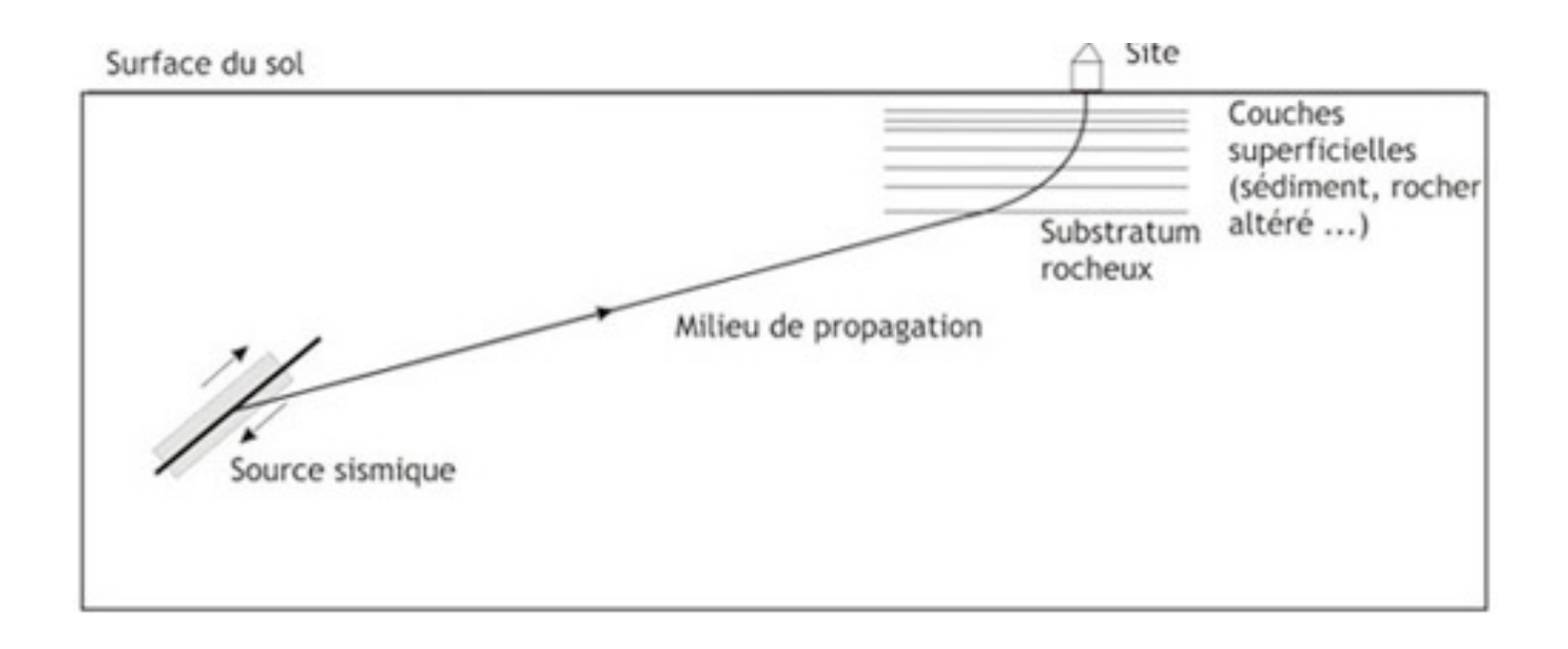


Début 20eme siècle... principe du pendule.

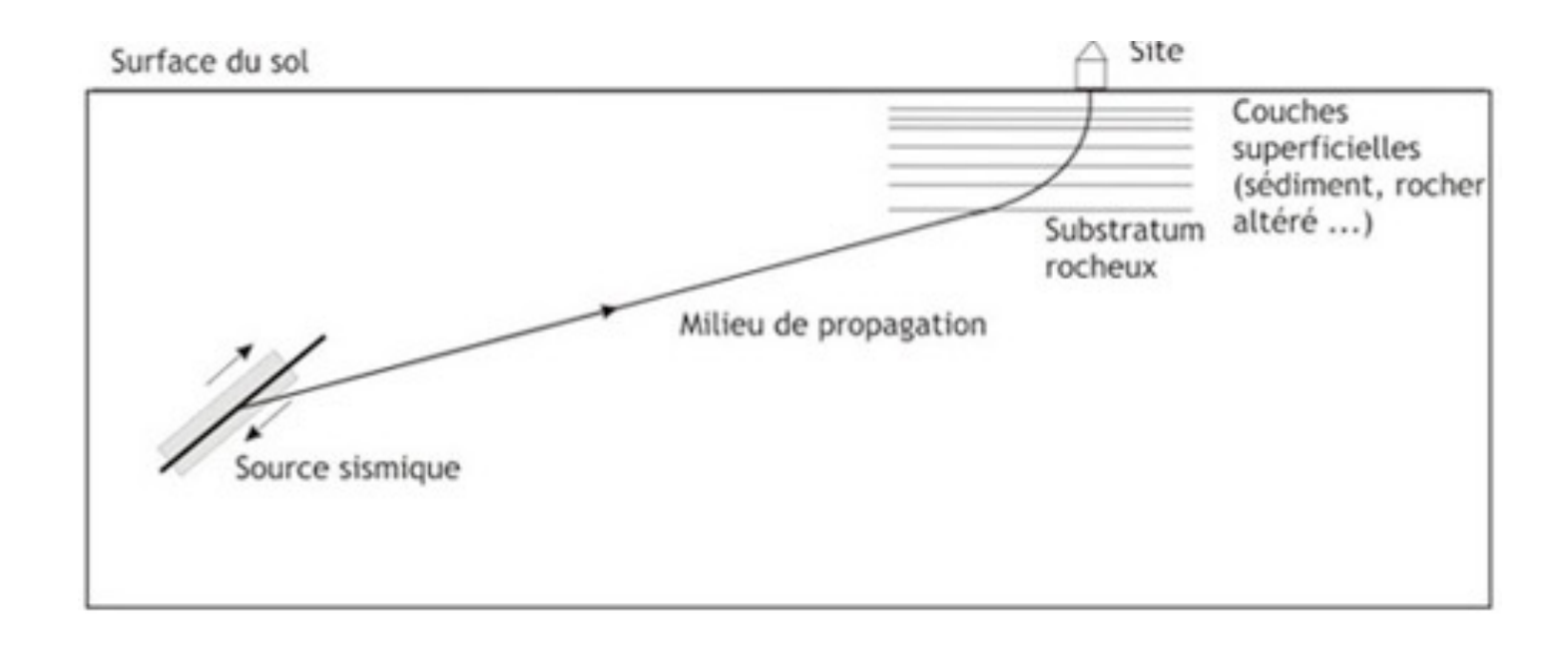




Les signaux enregistrés sont la combinaison d'effets ?



Les signaux enregistrés sont la combinaison d'effets ?

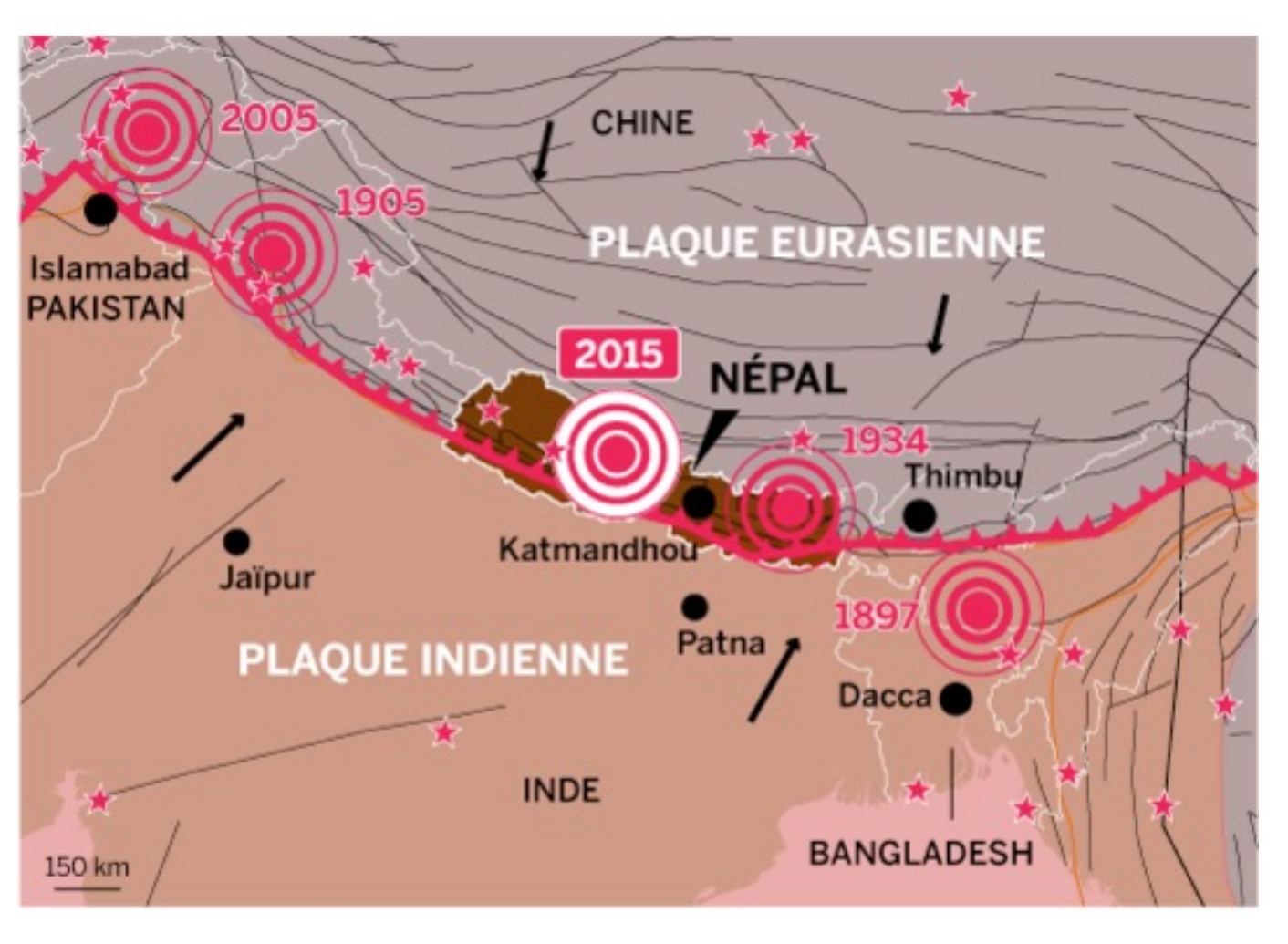


Les signaux enregistrés sont la combinaison d'effets liés :

- à la source.
- aux milieux traversés
- aux instruments de mesure.

Ils renseignent, de manière irremplaçable, sur la constitution interne du globe terrestre.

# Origine d'un séisme tectonique

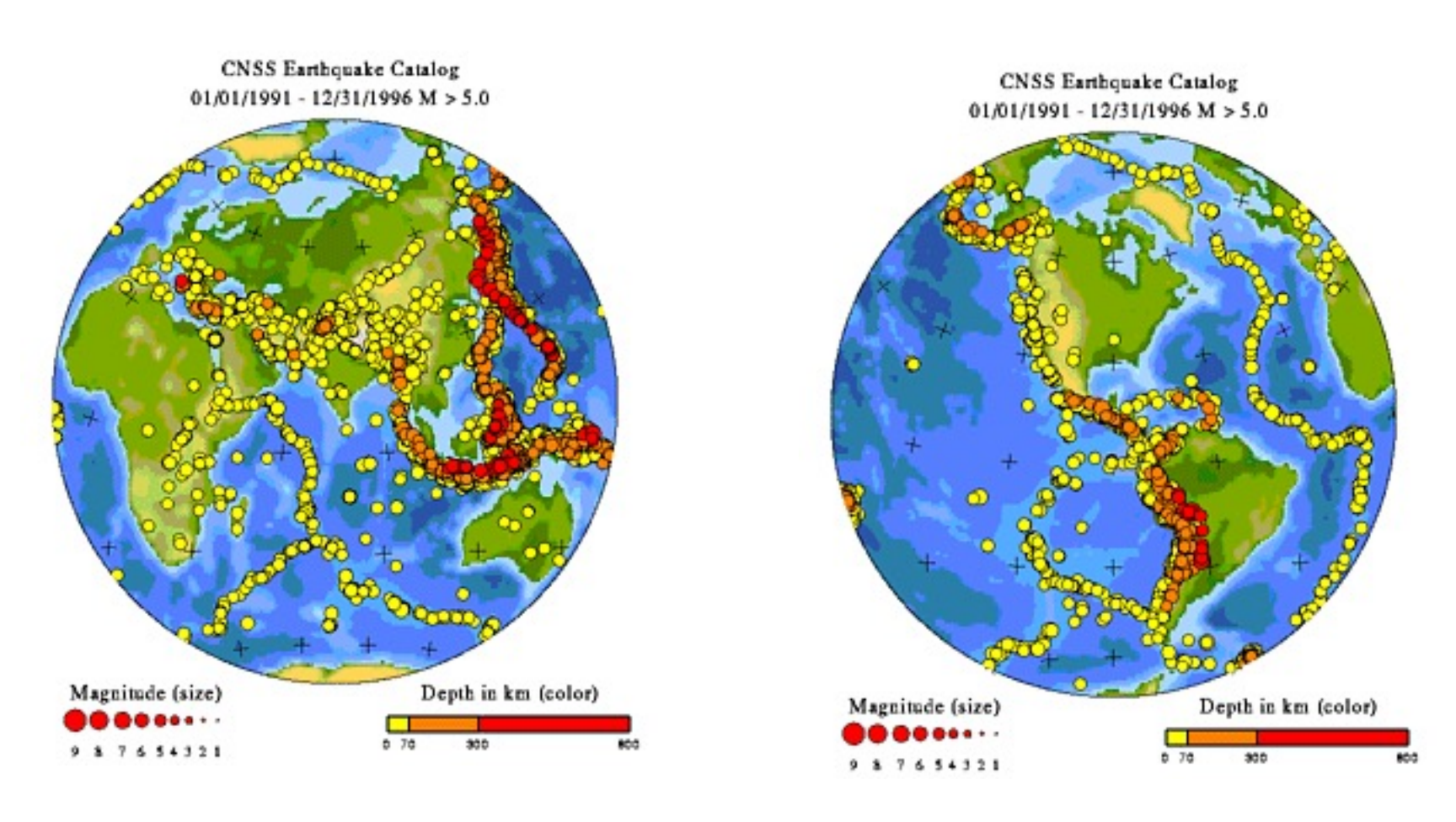




★ Autres séismes depuis 1970

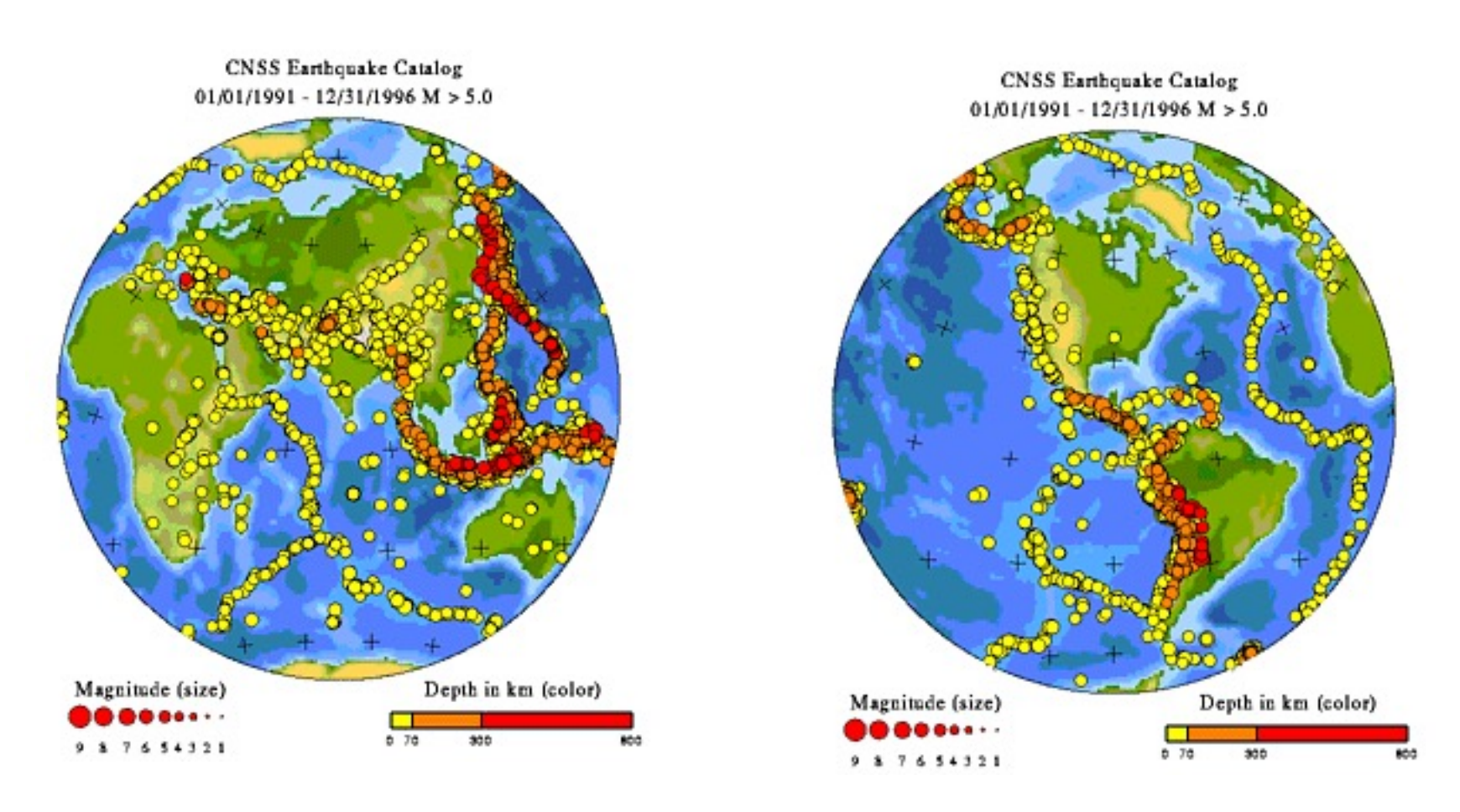


### Localisation des séismes



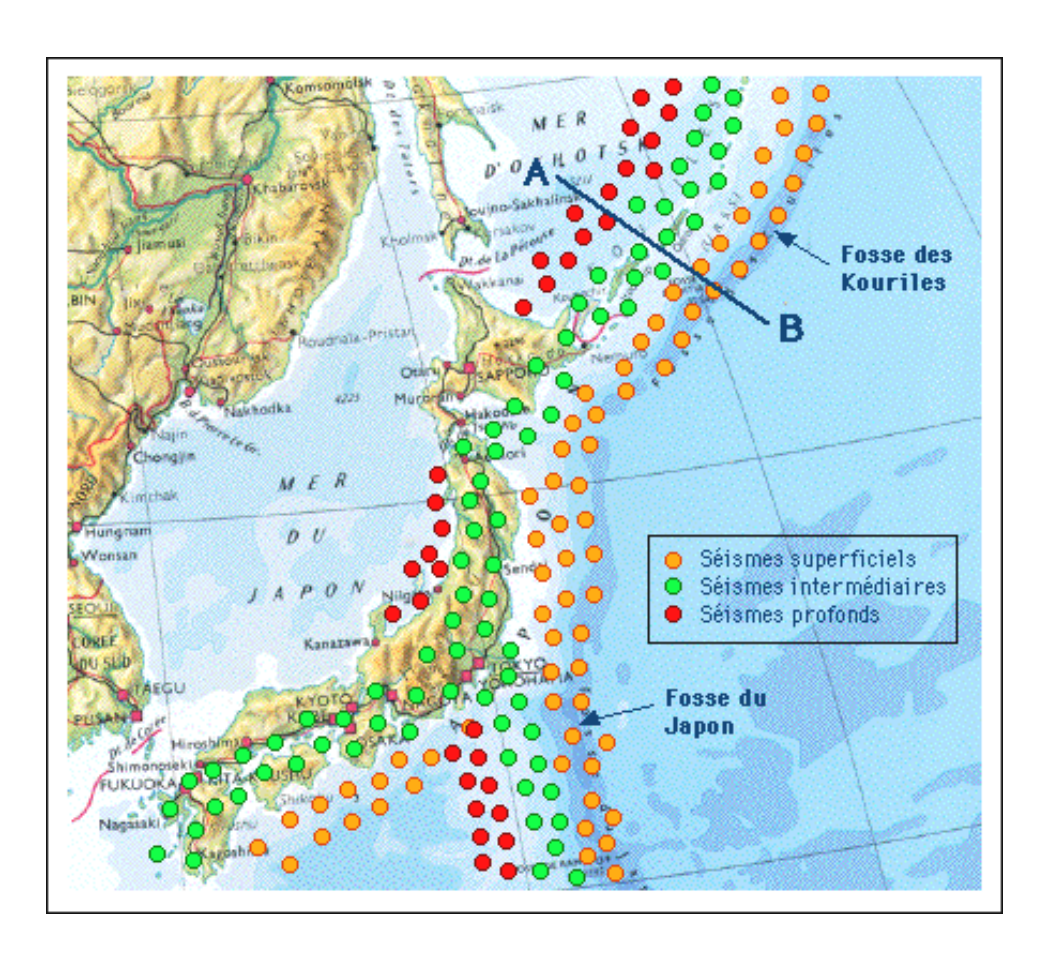
- •Zone de subduction : ≈ 90 % de l'énergie totale libérée .
- •Faille transformante : ≈ 5 %
- •Ride + domaine intra-plaques : ≈ 5 %

### Localisation des séismes

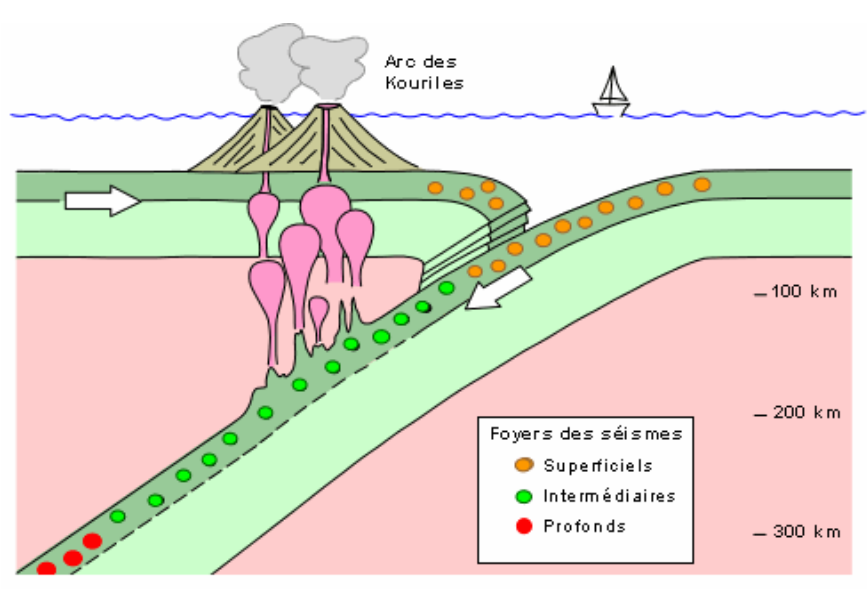


Caractéristiques différentes des séismes.

### Localisation des séismes

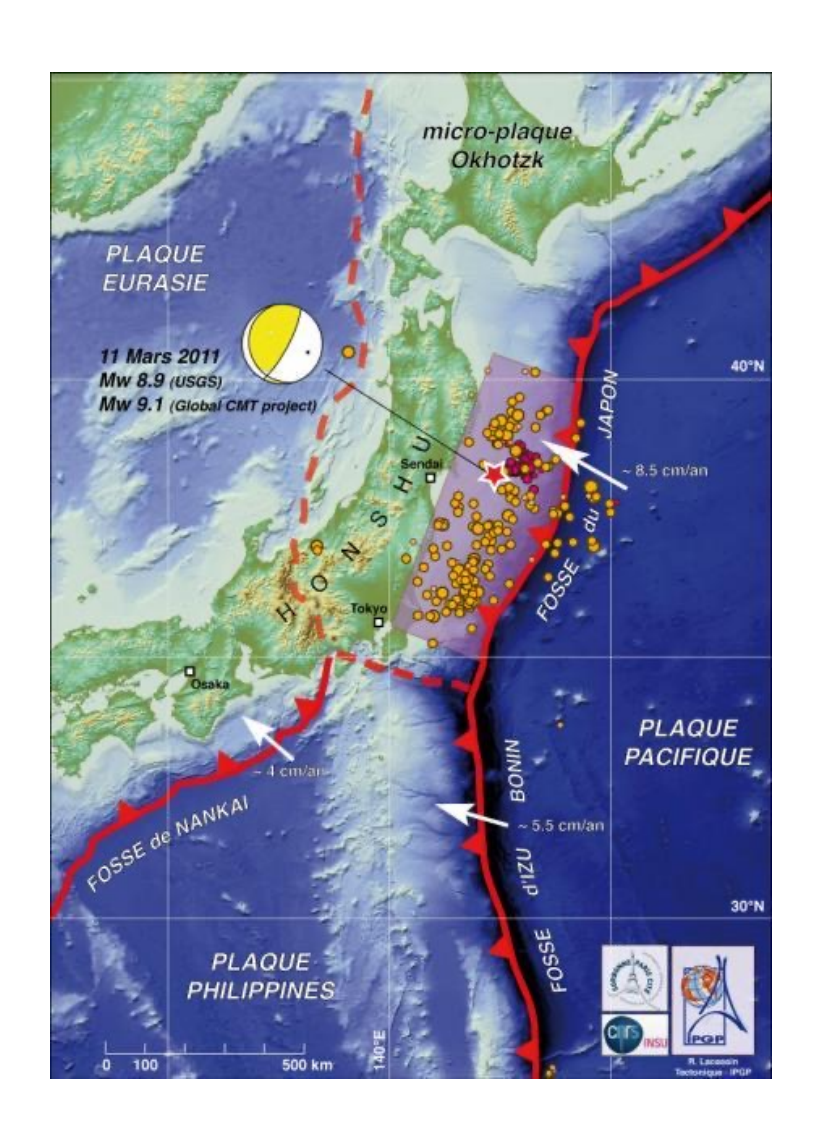


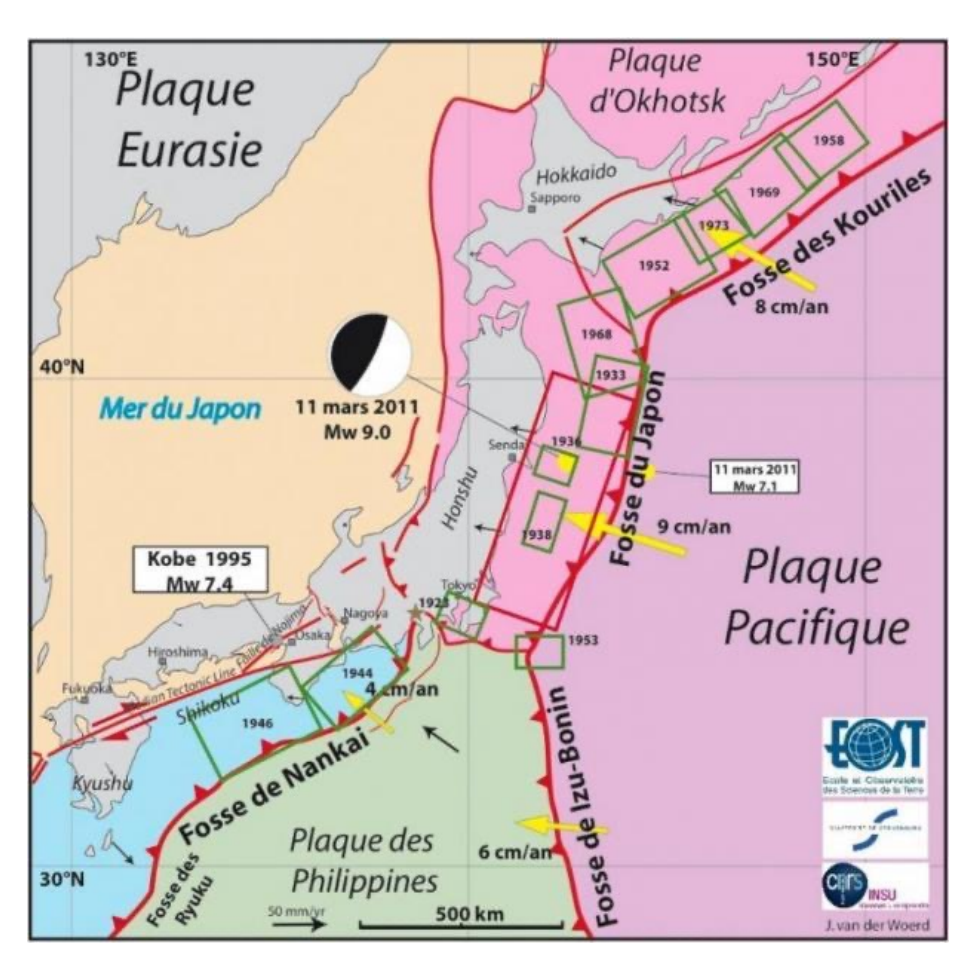
Japon: plaques Pacifique-Eurasie-Philippine



Séismes superficiels h<70 km
Séismes intermédiaires 70 km<h<350 km
Séismes profonds h>350km

# Origine d'un séisme tectonique

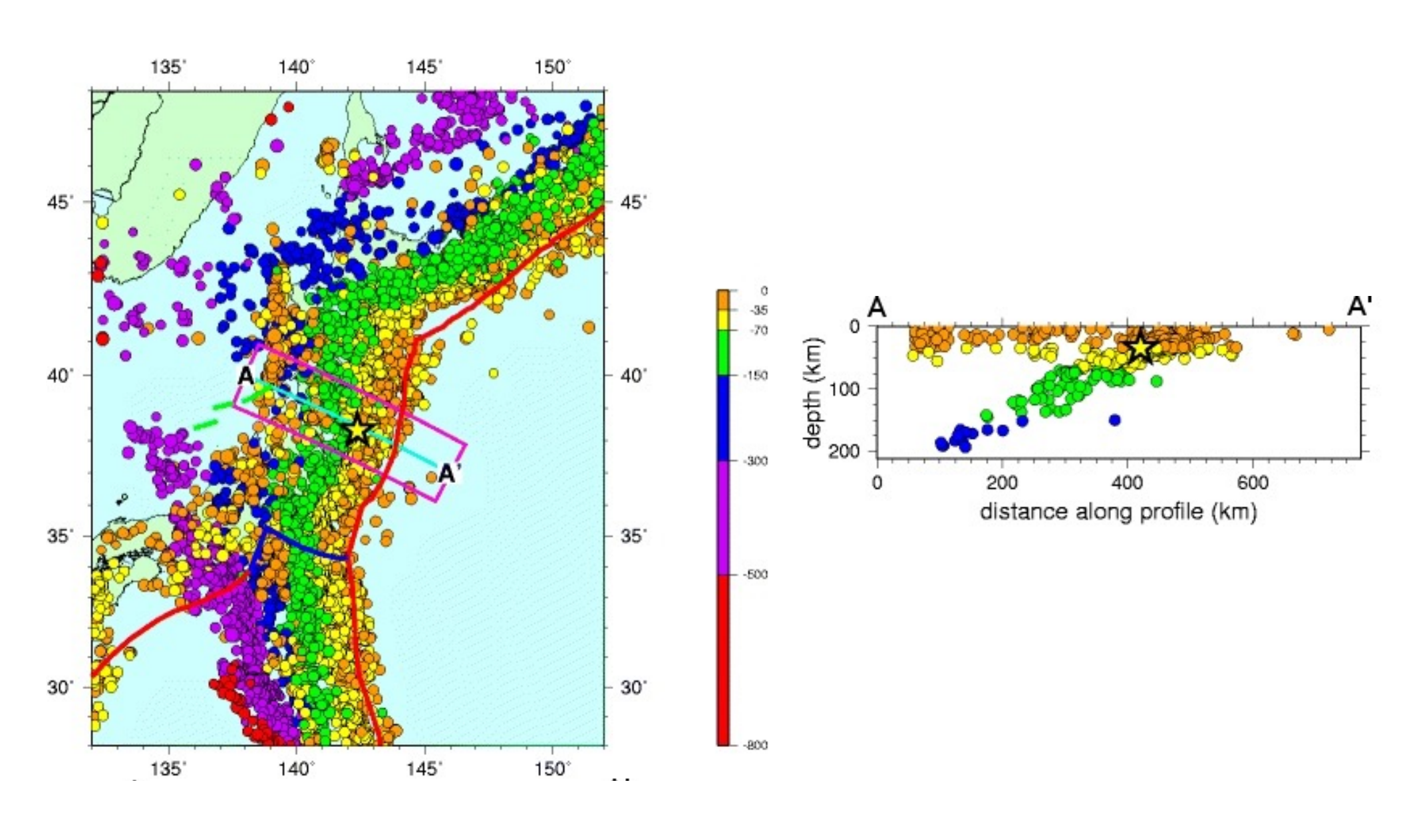




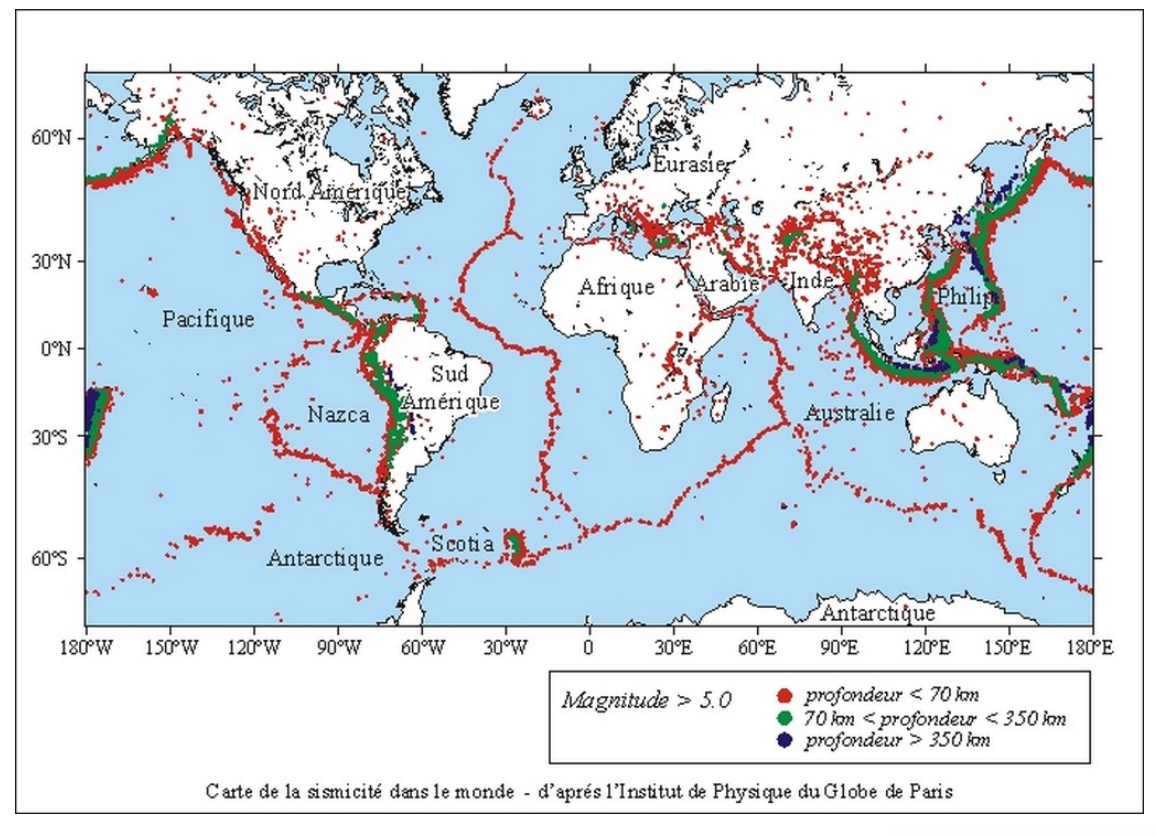
100 km à l'Est de Sendai

Durée: 2 à 3 minutes

### Localisation des séismes

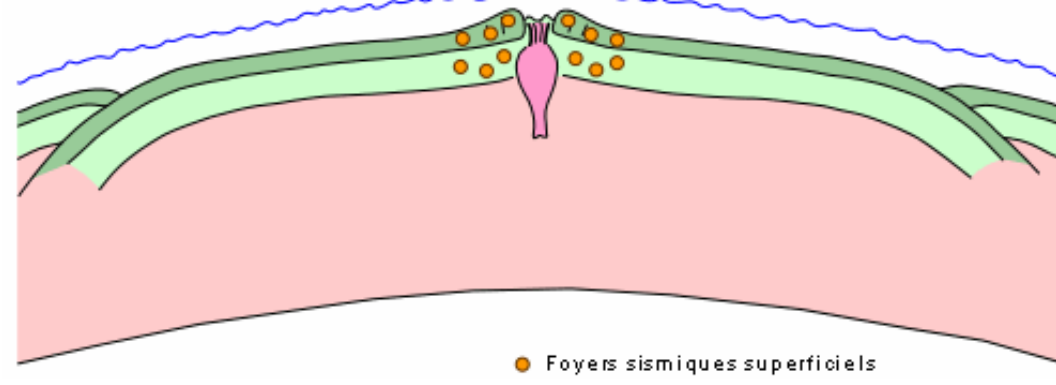


### Localisation des séismes



*h* ~ *lithosphère* 

Dorsale médio-océanique



### Localisation des séismes

Dorsales: 7,7 à 18 cm/an

Subduction: 3.7 à 5.5 cm/an





## Localisation des séismes









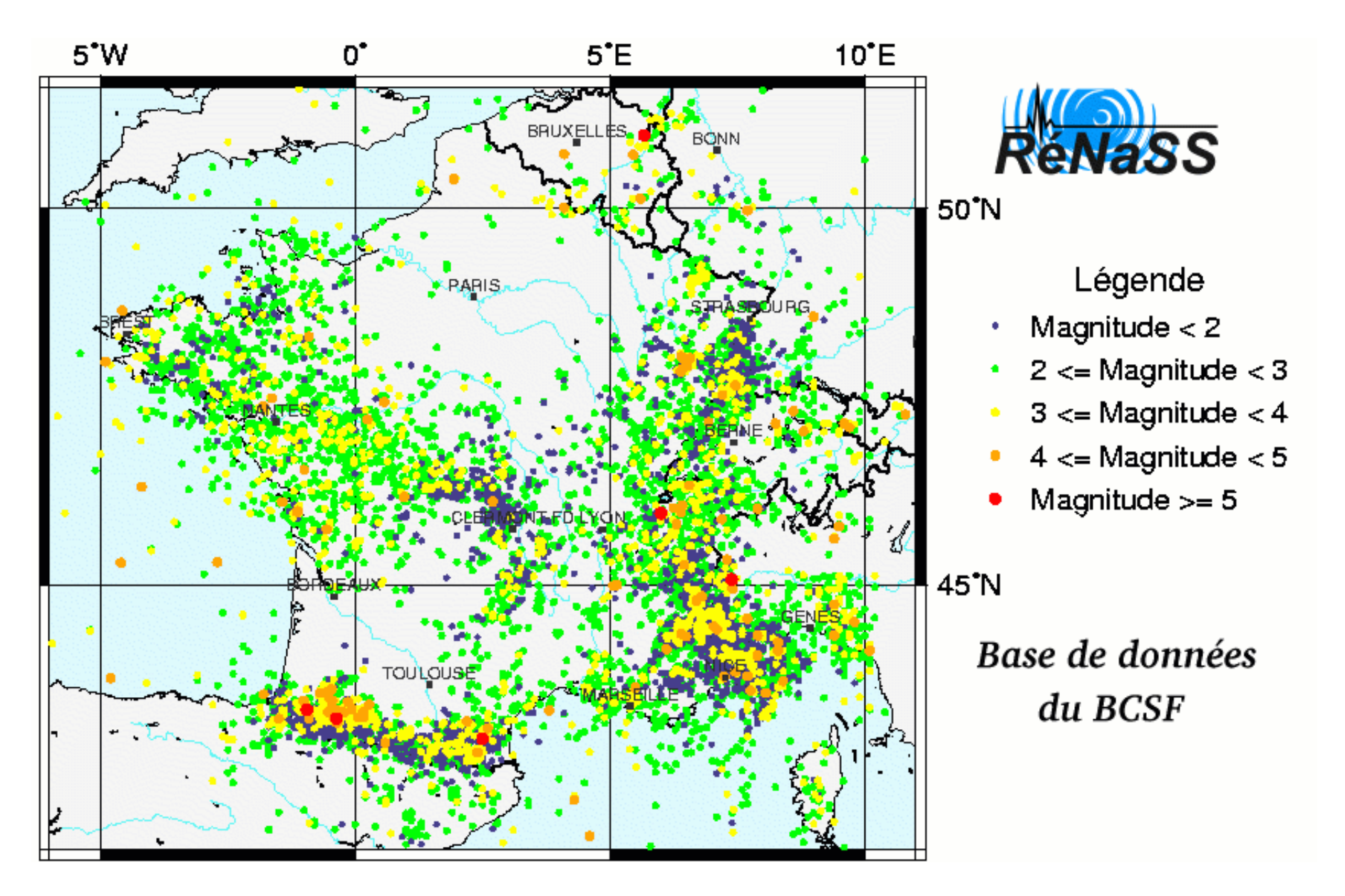
1906: Séisme San Fransisco

M = 8.2

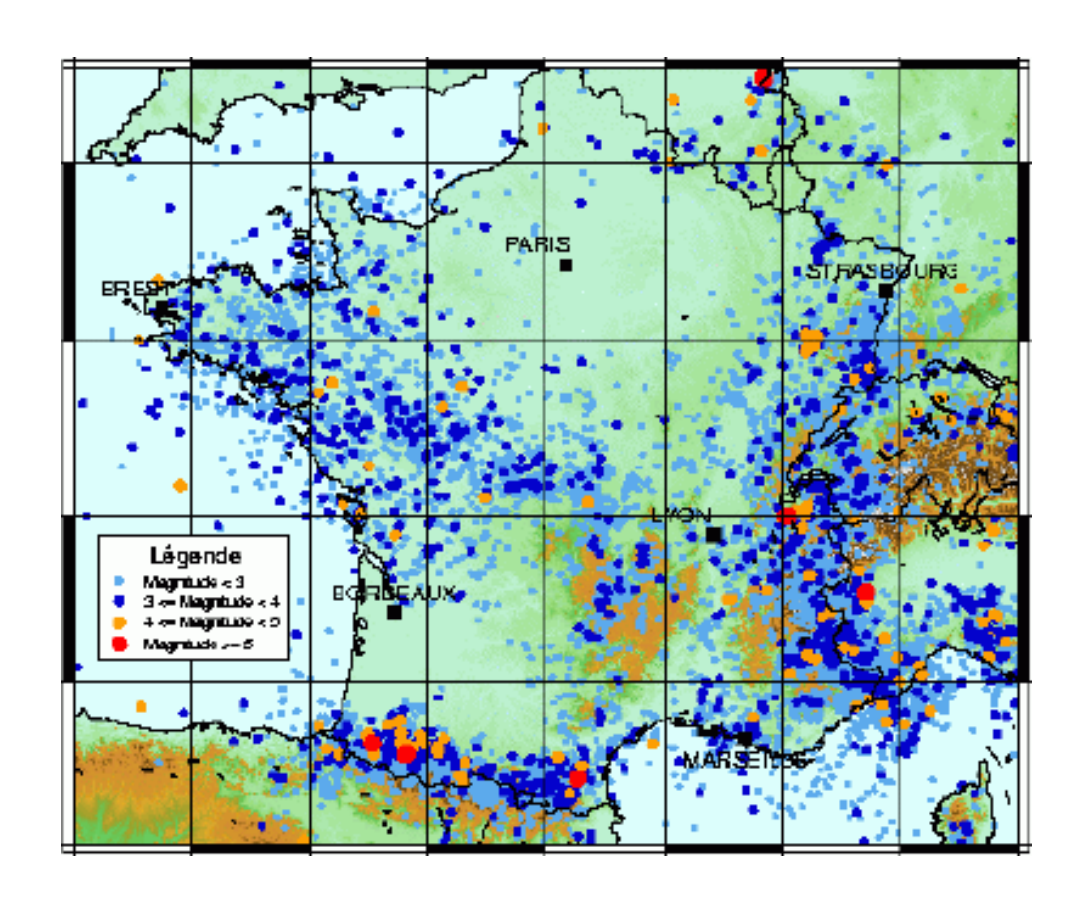
80% ville détruite

*3000 morts* 

## Localisation des séismes



### Localisation des séismes



Carte réalisée à partir des données du BCSF du 1980 à 2000

Sismicité moyenne avec des séismes superficiels (croûte)

- -20 séismes par an > M=3.5
- -10 séismes M> 5 depuis 1980
- -Zones de failles ou plissements hérités

Rapprochement lent entre la plaque africaine et plaque eurasienne.

### **Histoire**

#### ANTIQUITE – Aristote → Pneuma

Le pneuma est produit par les rayons du soleil qui, lorsqu'il s'enfonce dans la terre et s'accumulent et produisent des séismes.

1600 - Poches de gaz (P. Cassendi)

1779 - Tonnerre souterrain (P. Bertholon de Saint-Lazare) : accumulation d'électricité dans le sol.

1755- Séismes de Lisbonne

1854 - Première carte sismique du monde (R. Mallet)

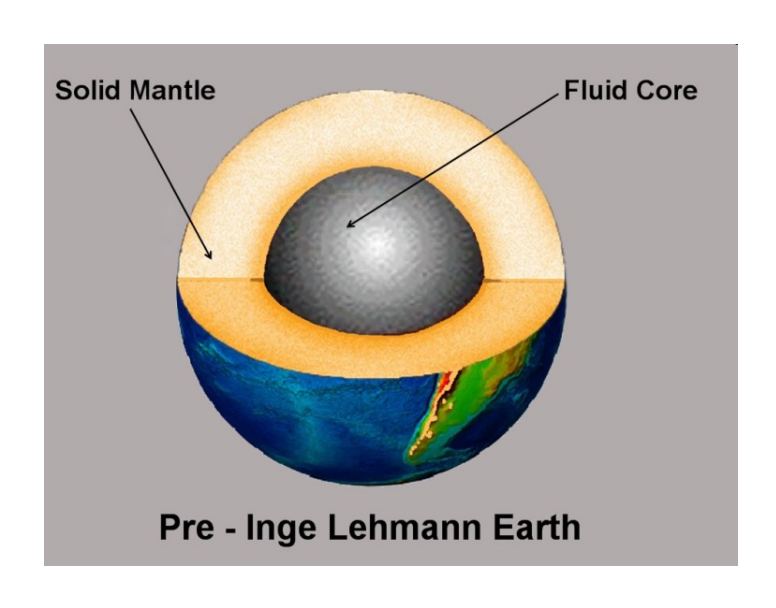
### Début XXe siècle – Premières bases scientifiques

Identification des différentes ondes sismiques (Richard Dixon Oldham) Recensement des séismes (A. Perrey)

#### ×

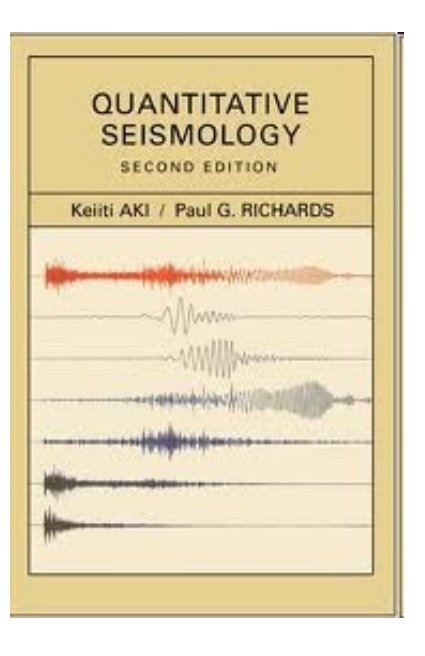
### **Histoire**

- 1893 Lien entre séisme et faille est mis en évidence par Bunjiro Koto
- 1902 Echelle d'intensité par Guiseppe Mercalli
- 1906 Noyau de la Terre liquide par Richard Dixon Oldham
- 1909 Discontinuité sismique à la base de la croûte terrestre par Mohorovicic
- 1935 Echelle fondée sur la magnitude par Charles Francis Richter
- 1936 Graine solide dans le noyau par Inge Lehmann
- 1966 Moment sismique par Keiiti Aki
- 1977 Magnitude basée sur le moment sismique par Hirro Kanamori









### **Histoire**

 Connaissance avant 1900 sans sismologie

Connaissance vers 1935
 Temps de trajet

Connaissance vers 1985
 Analyse des sismogrammes

